



DECHOVÉ TESTY PRINCIPY, TECHNOLOGIE A APLIKACE



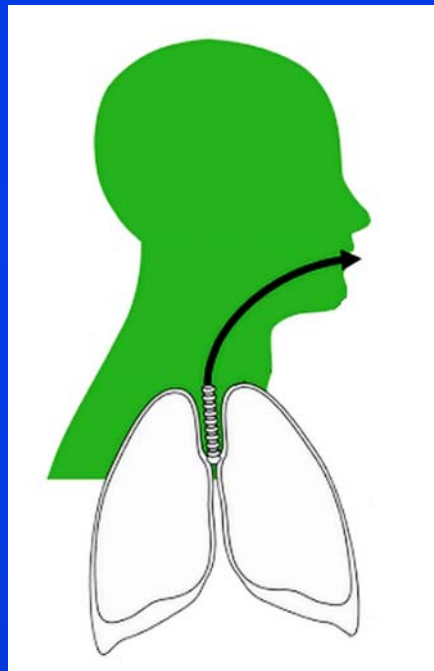
MUDr. Petr Kocha CSc.
<http://gweb.zde.cz>



Seminář PGS 1.LF UK, březen 2024



Klinický význam analýzy vydechovaného vzduchu je znám již od doby Hippokrata. Starověcí lékaři věděli, že zápach dechu pacienta je spojen s některými onemocněními



zápach dechu	onemocnění
ovocný	diabetes
rybí	ledviny
kyselý	astma
sladký	jaterní cirhóza
čpavkový	ledviny
fekální	střevní obstrukce

Recent Advances in Nanomaterial-Based Human Breath Analytical Technology for Clinical Diagnosis and the Way Forward.
Kabir E, Raza N, Kumar V. et al. Chem. 2019; 5/12: 3020-3057



Neinvazivní metody s analýzou vydechovaného vzduchu nabízejí v klinické biochemii velmi široké uplatnění, které nejsou v současné době dostatečně využívány. V NLM Pubmed databázi je zařazeno více než 8500 publikací a pro metody se stabilním izotopem uhlíku ^{13}C je popsáno více než 40 ^{13}C -značených substrátů. S rozvojem nových technologií, analýzy hmotnostní spektrometrií se selektivními, specifickými senzory na bázi nanočipů lze snad v blízké budoucnosti očekávat vyšší využití neinvazivních dechových testů.

Dechové testy se stabilním izotopem uhlíku ^{13}C

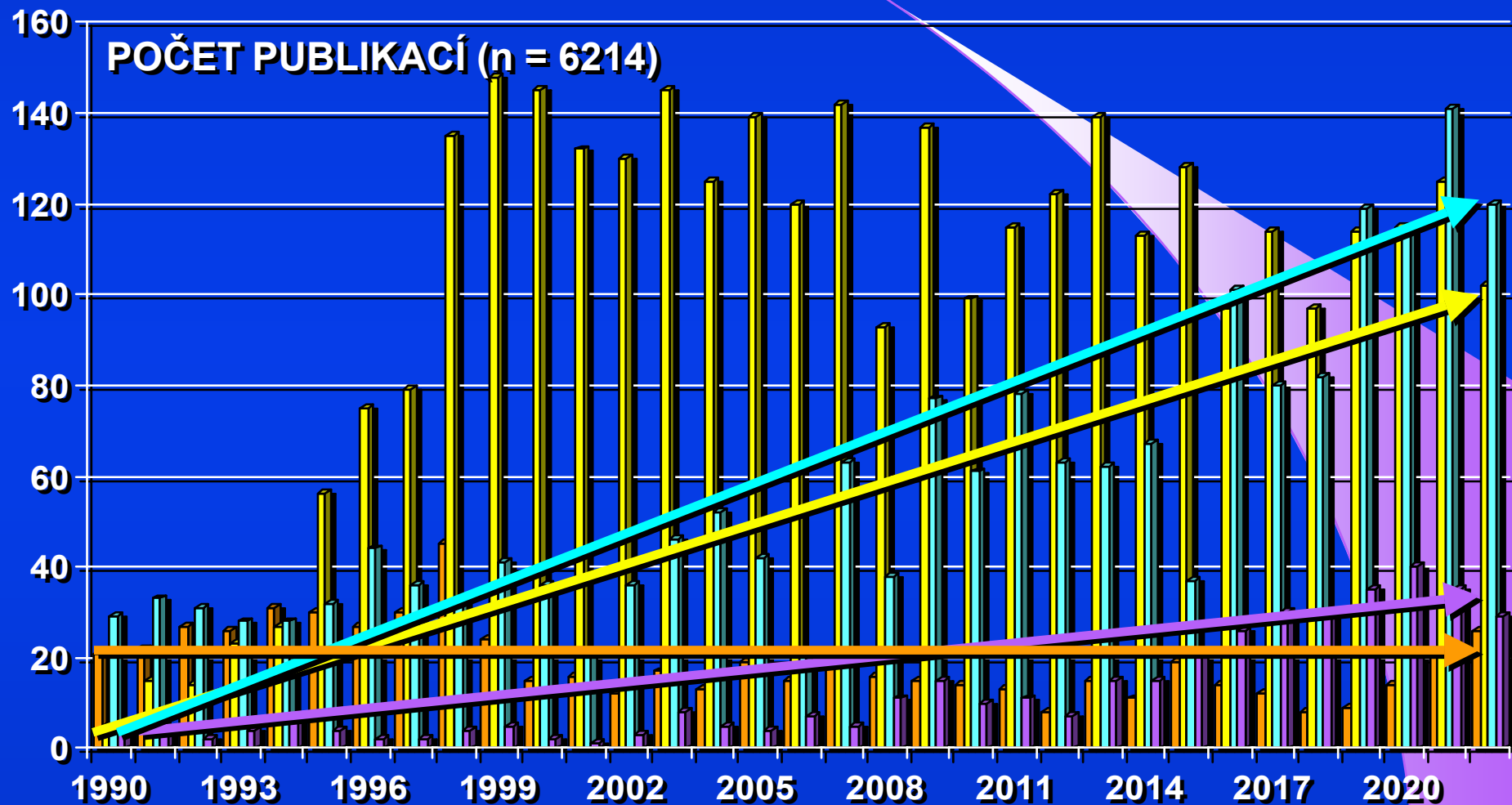
Dechové testy s měřením vodíku a metanu

Analýza oxidu dusnatého v dechu

Stanovení alkoholu a ketolátek v dechu

Analýza těkavých organických látek v dechu

ANALÝZA DATABÁZE NLM - MEDLINE 1990 - 2023





^{13}C DECHOVÉ TESTY V GASTROENTEROLOGII

VÝHODY IZOTOPU ^{13}C

^{13}C - JE STABILNÍM IZOTOPEM UHLÍKU

- NENÍ RADIOAKTIVNÍ**
- VYSKYTUJE SE BĚŽNĚ V PŘÍRODĚ**
- CCA 1,1 % UHLÍKU V LIDSKÉM TĚLE TVOŘÍ ^{13}C**

NEVÝHODY IZOTOPU ^{13}C

^{13}C - CCA 1,1 % UHLÍKU V LIDSKÉM TĚLE TVOŘÍ ^{13}C

PRINCIP ^{13}C - DECHOVÝCH TESTŮ

perorální podání

 ^{13}C -substrát

enzymatická hydrolytická funkce GIT

 ^{13}C

absorpce

změna poměru $^{13}\text{C}/^{12}\text{C}$ podáním substrátustanovení poměru $^{13}\text{C}/^{12}\text{C}$ $^{13}\text{CO}_2$

eliminace

matem. model

produkce CO_2

DOB

hodinový výdej CO_2

PDR

kinetika měření v čase

PET

kumulativní výdej CO_2

cPDR



^{13}C DECHOVÉ TESTY - HODNOCENÍ VÝSLEDKU

δ – DELTA, δ je vyjádřena v ‰ / promile

$$\delta \text{ (‰)} = (\text{R}_{\text{sample}}/\text{R}_{\text{standard}} - 1) \cdot 1000$$

$$\delta^{13}\text{C} \text{ (‰)} = ([^{13}\text{C}/^{12}\text{C}]_{\text{sample}}/[^{13}\text{C}/^{12}\text{C}]_{\text{standard}} - 1) \cdot 1000$$

DOB	Delta Over Baseline
PDR	Percent Dose Recover
cPDR	Cummulative Percent Dose Recovery
PET	Peak Excretion Time



^{13}C DECHOVÉ TESTY - PDB STANDARD

Standardem PDB je primární referenční materiál pro měření přirozených změn obsahu izotopu uhlíku ^{13}C , stanoveného v uhličitanu vápenatém ze schránek křídových belemnitů rodu *Belemnitella americana* z geologické formace Pee Dee v Jižní Karolíně (USA)

PDB

Pee Dee Belemnita

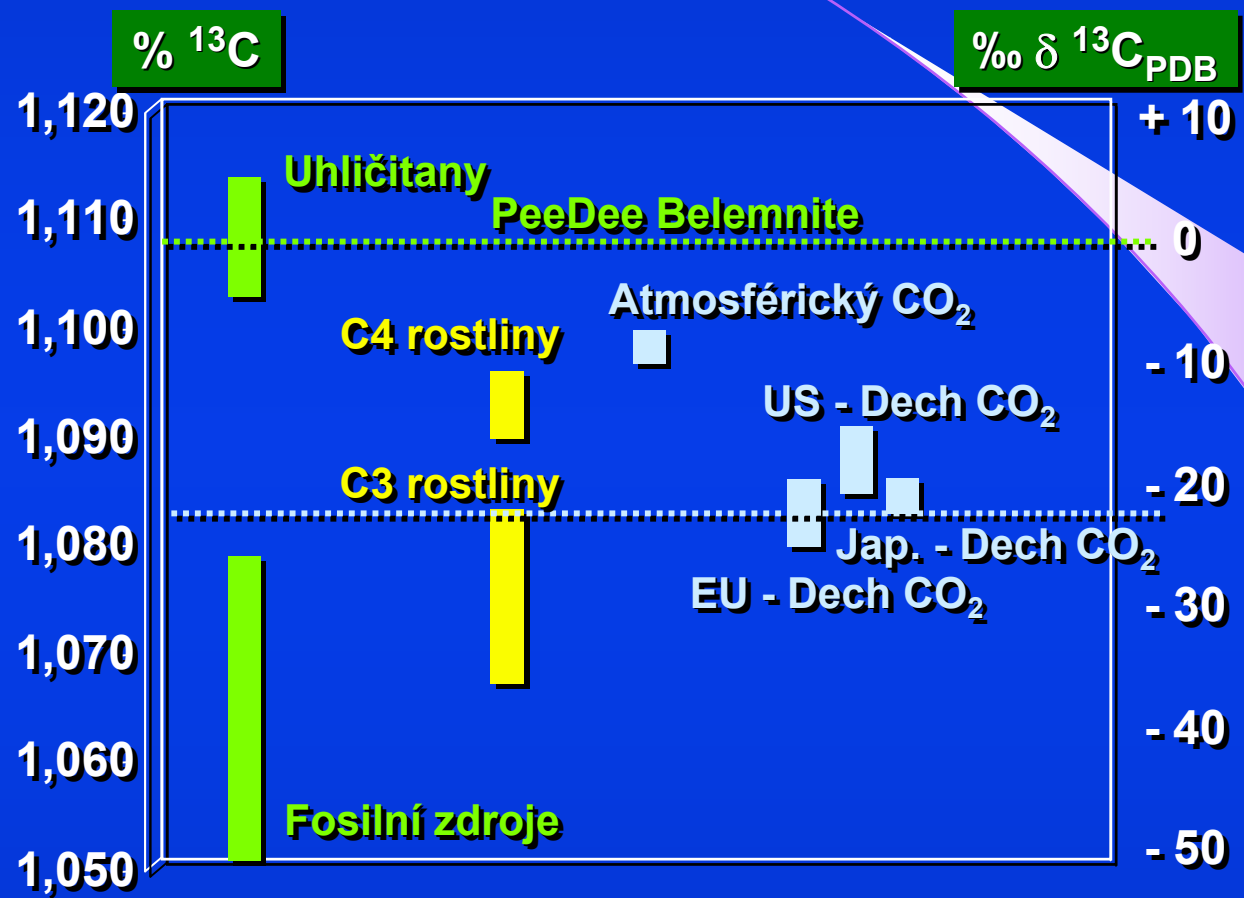
Mezinárodní standard $^{13}\text{C} = 1.11237 \%$



^{13}C DECHOVÉ TESTY - PDB STANDARD

PDB - Pee Dee Belemnite *Belemnita americana*



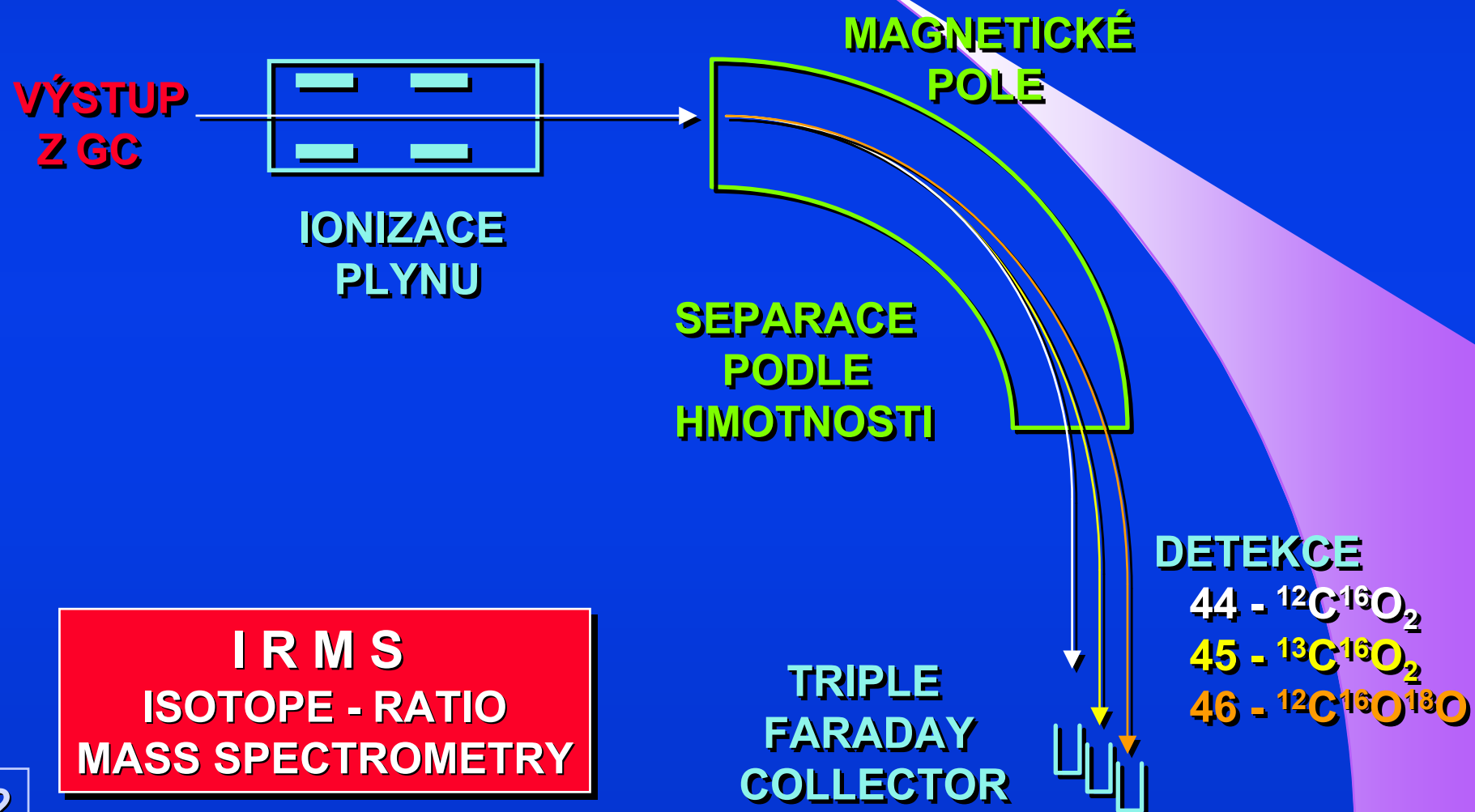
VÝSKYT IZOTOPU ^{13}C V PŘÍRODĚ

13C abundances of nutrients and the effect of variations
in 13C isotopic abundances of test meals formulated for $^{13}\text{CO}_2$ breath tests.
Schoeller DA. et al.: Am J Clin Nutr. 1980; 33(11): 2375 - 2385



**HeliView - IRMS
ANALYZÁTOR
DECHOVÝCH TESTŮ
NA BÁZI UHLÍKU ^{13}C**

**Kód VZP: 81701
467 bodů
analytika, odb. 801, IRMS**

ANALYZÁTOR $^{13}\text{CO}_2$ - IRMS DETEKCE

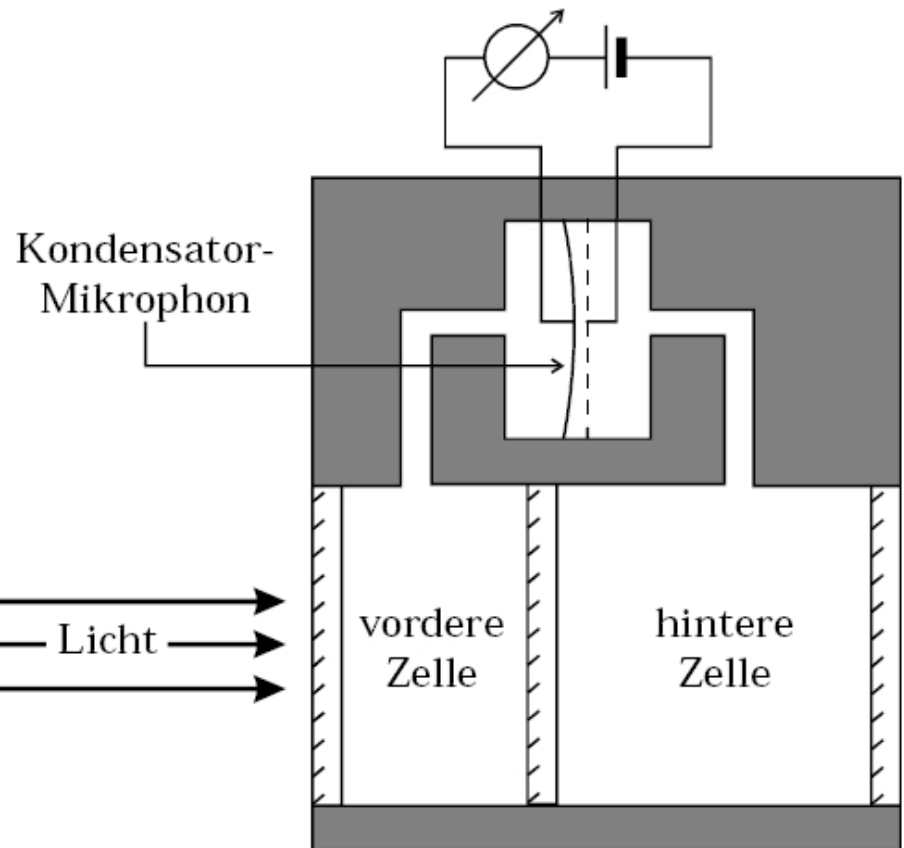


ANALYZÁTOR $^{13}\text{CO}_2$ - IR DETEKCE



HeliFAN Plus
IR spectrophotometr
Fischer Analysen Instr.

ANALYZÁTOR $^{13}\text{CO}_2$ - IR DETEKCE



OptoAkustický detektor
Lehrer & Luft typ
Lehrer E and Luft K F 1938
German Patent No 730478

- absorpce IR
- změna tlaku
- deformace membrány
- akustický signál

An analytical model of the pneumatic non dispersive infrared detector

Daniel P Lucero: *Journal of Physics E: Scientific Instruments*, 1973; 6: 281 - 286



DOPORUČENÉ POSTUPY (GUIDELINES)

Statement 1: **UBT is the most investigated and best recommended non-invasive test in the context of a ‘test-and-treat strategy’.** **Monoclonal SAT can also be used.** Serological tests can be used only after validation. Rapid ('office') serology tests using whole blood should be avoided in this regard.

Level of evidence: 2a Grade of recommendation: B

Statement 9: The available data consistently recognise **pepsinogen (Pg) serology as the most useful non-invasive test to explore the gastric mucosa status (non-atrophic vs atrophic).** The PgI/PgII ratio can never be assumed as a biomarker of gastric neoplasia.

Level of evidence: 2a Grade of recommendation: A

Management of Helicobacter pylori infection-the Maastricht V/Florence Consensus Report.

Malfertheiner P. et all. - The European Helicobacter Study Group (EHSG). Gut. 2017 Jan; 66 (1): 6-30

^{13}C -UREA DECHOVÝ TEST NA HELICOBACTER PYLORI

SUBSTRÁT: ^{13}C -MOČOVINA

DÁVKA: 50 - 100 mg

DOBA TESTU: 30 minut

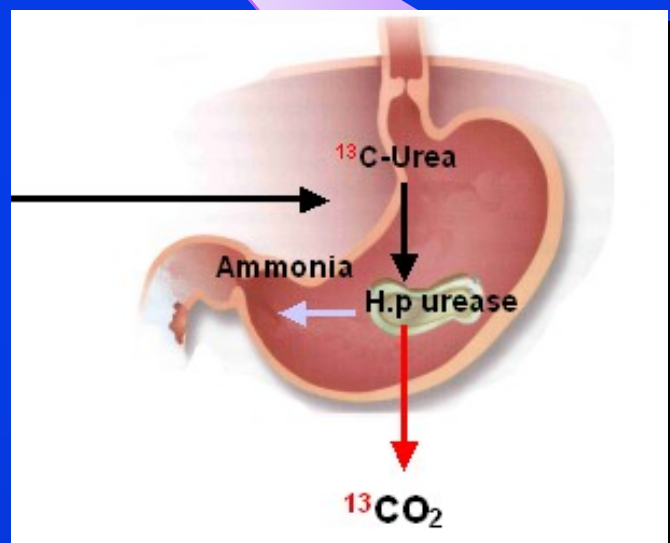
DECHOVÝ TEST

Hp - UREÁZA



RYCHLÝ UREÁZOVÝ TEST

globální test - žaludku



lokální test - biopsie

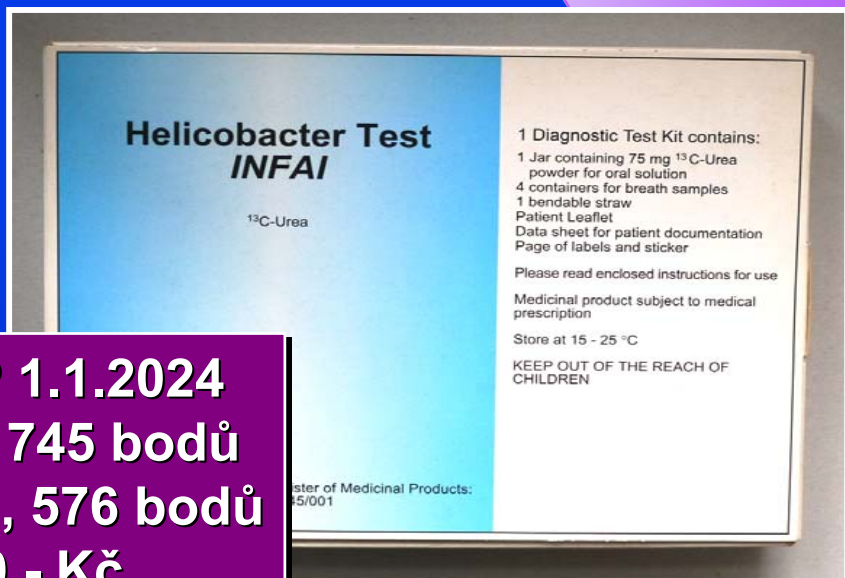


¹³C-UREA DECHOVÝ TEST NA HELICOBACTER PYLORI

**¹³C-UBT test, substrát – 75mg značené močoviny
vzorky dechu v čase T₀ a T₃₀ minut
DOB do 4‰ Hp negativní, nad 5‰ Hp pozitivní,
při výsledku 4- 5‰ doporučujeme test opakovat**



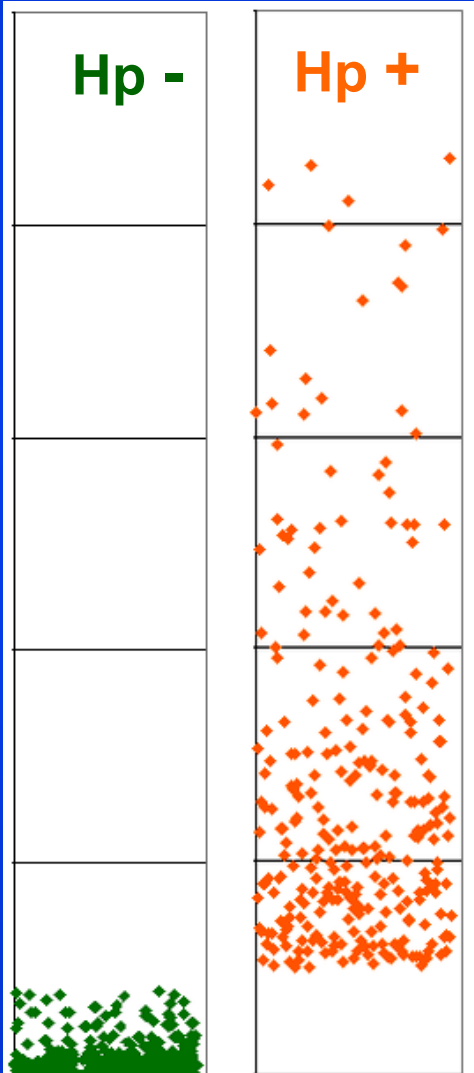
**UBT - Hp souprava INFAl
registrována v ČR - SÚKL**



**Sazebník výkonů VZP 1.1.2024
klinická část - 15143, 1745 bodů
analytická část - 81701, 576 bodů
samoplátkci – 1000.- Kč**



¹³C-UREA DECHOVÝ TEST NA HELICOBACTER PYLORI



KLINICKÉ VÝSLEDKY: POČET UBT TESTŮ:

1621 x

NEGATIVNÍ VÝSLEDEK: 1254 x

POZITIVNÍ VÝSLEDEK: 333 x

HODNOTA DOB 4 - 5: 36 x

POZITIVITA – 20.5%

STANOVENÍ HpSA VE STOLICI
(HELICOBACTER STOOL ANTIGEN)
POČET HpSA TESTŮ: 1931x

NEGATIVNÍ VÝSLEDEK: 1678 x

POZITIVNÍ VÝSLEDEK: 253 x

POZITIVITA – 13.1%



^{13}C - DECHOVÉ TESTY FUNKCE PANKREATU

VOLBA SUBSTRÁTU

- ^{13}C - TRIOLEIN
- ^{13}C - HIOLEIN
- ^{13}C - MIXED TRIGLYCERIDE
- ^{13}C - CHOLESTERYL OCTANOATE
- ^{13}C - TRIPALMITIN
- ^{13}C - TRIOCTANOIN
- ^{13}C - STARCH
- ^{13}C - BzTyrAla

STEATORHEA > 11 - 14 g/den
INTRALUMINÁLNÍ LIPOLÝZA
SPECIFICTA K PANKREATICKE LIPOAZE
VÝDEJ LIPOAZY < 90 kU/hod
PANKREAT. CHOLESTEROL ESTERÁZA
STEATORHEA > 11 g/den
MALABSORPCE TUKŮ
TKÁŇOVÉ POŠKOZENÍ, FIBRÓZA > 30%
SEKRECE AMYLÁZY < 10%
KORELACE s PABA testem



DOPORUČENÉ POSTUPY (GUIDELINES)

Which test is clinically indicated

for diagnosing exocrine pancreatic insufficiency (PEI) ?

Statement 3-6. In a clinical setting, a **non-invasive pancreatic function test (PFT) should be performed**. The **FE-1 test** is feasible and widely available and is therefore most frequently used in this setting, while the **13C mixed triglyceride breath test (13C-MTG-BT)** offers an alternative. The s-MRCP test may also be used as an indicator of PEI but provides only semiquantitative data.

(Grade 1B, agreement)

Is a pancreatic function test required for the diagnosis of CP?

Statement 3-7. A function test is required for the diagnosis of CP.

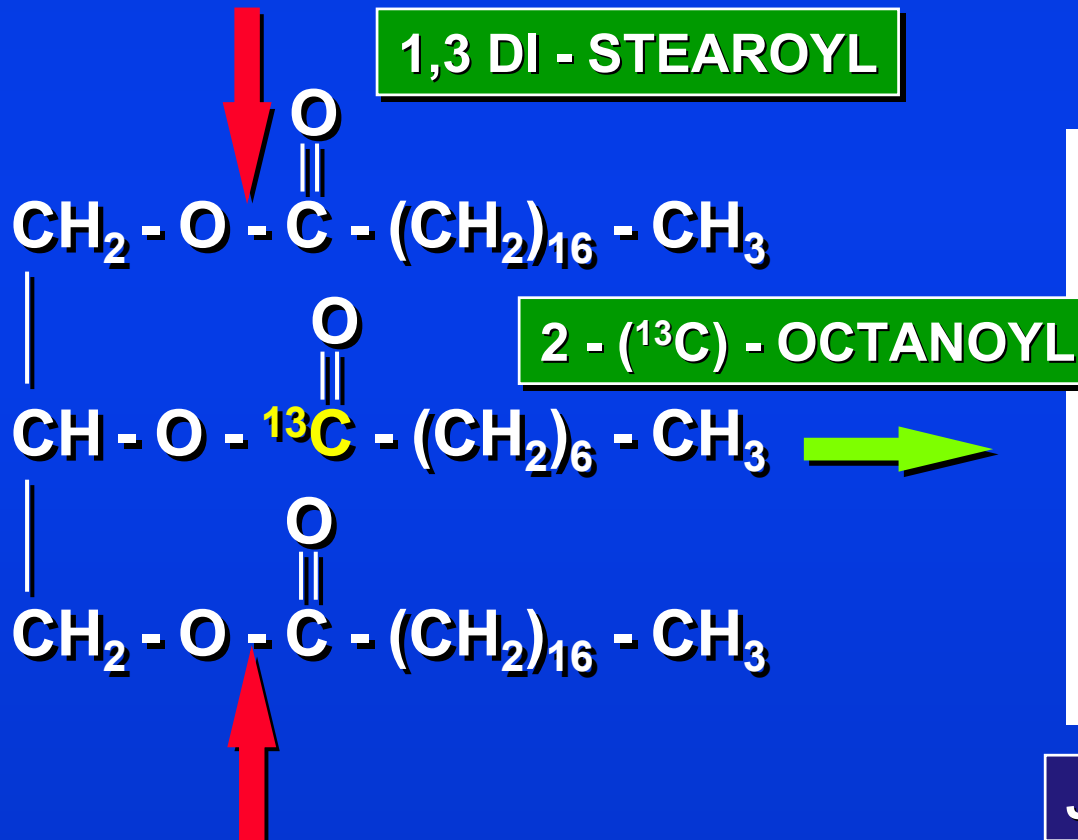
(Grade 2B, strong agreement)

Should a pancreatic function test be performed at the time of diagnosis?

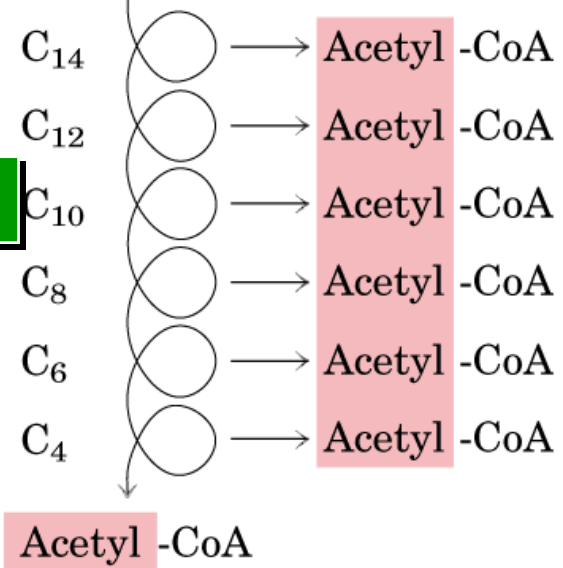
Statement 3-8. Every patient with a new diagnosis of CP
should be screened for PEI. (Grade 1A, strong agreement)

METABOLICKÉ PROCESY ^{13}C -MTG

PANKREATICKÁ LIPÁZA



$^{13}\text{CO}_2$ V DECHU

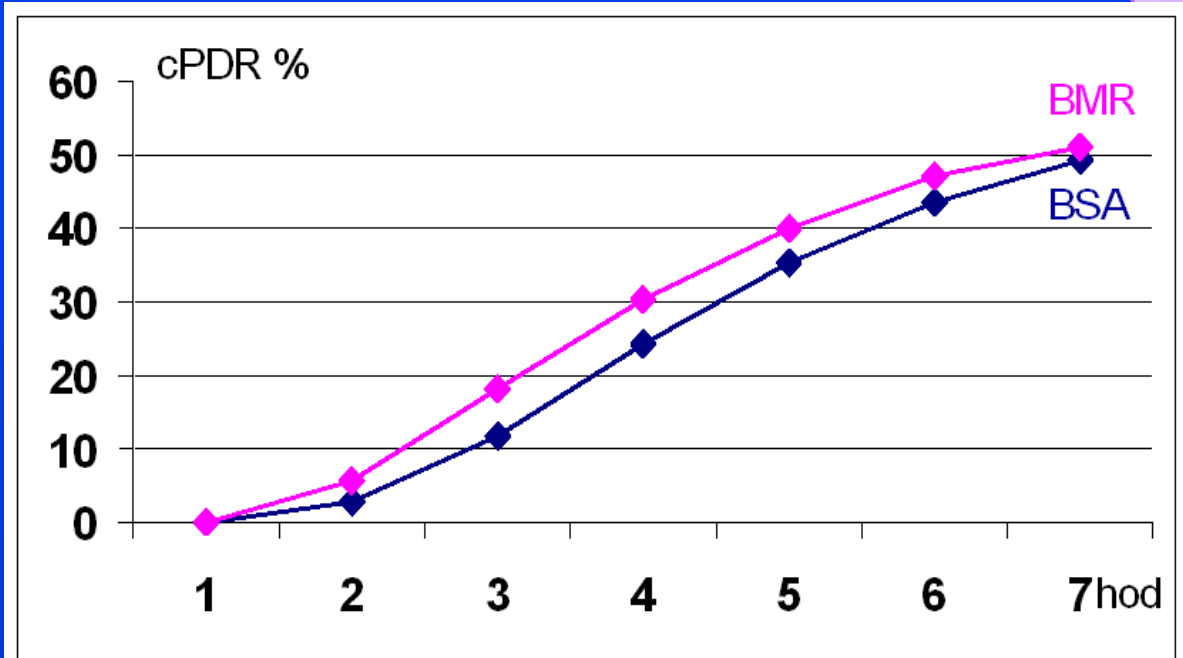


JATERNÍ β - OXIDACE



¹³C-MTG DECHOVÝ TEST EXOKRINNÍ FUNKCE PANKREATU

**¹³C-MTG test - v našem uspořádání podáváme
100 g bezlepkového chleba s 250 mg mixed triglyceridu
ve 20 g margarinu
vzorky dechu v čase T_0 až T_{360} minut po 60 minutách
cPDR_{6hod} patologický pod 30% (BMR)**





¹³C-MTG DECHOVÝ TEST EXOKRINNÍ FUNKCE PANKREATU

KLINICKÉ VÝSLEDKY:

POČET MTG TESTŮ:

407 x

NORMÁLNÍ HODNOTA:

365 x

PATOLOGICKÁ HODNOTA:

41 x

**STANOVENÍ PANKREATICKE ELASTÁZY-1
VE STOLICI (FELA)**

SHODA ¹³C-MTG TESTU S FELA 327 x
SHODA je v 83%

Stanovení elastázy-1 ve stolici doporučujeme jako vhodný statický marker pro posouzení kapacity exokrinního pankreatu, dechový test ¹³C-MTG navrhujeme jako dynamický, funkční test k posouzení komplexního, digestivního efektu.



13C - DECHOVÉ TESTY JATERNÍCH FUNKCÍ

VOLBA SUBSTRÁTU

- **13C - GALAKTÓZA**
CYTOSOL, FOSFORYLACE, DG.CIRHÓZY
- **13C - AMINOPYRIN**
CYP2C19, DEMETYLACE, ZÁVAŽNOST HCV FIBRÓZY
- **13C - FENYLALANIN**
CYTOSOL, OXIDACE, POSOUZENÍ FUNKČNÍ REZERVY
- **13C - METHIONIN**
MITOCHONDRIE, OXIDACE, POSOUZENÍ NAFLD
- **13C - METHACETIN**
CYP1A2, DEMETYLACE, POSOUZENÍ JAT.ONEMOCNĚNÍ

*Potential use of metabolic breath tests to assess liver disease and prognosis:
has the time arrived for routine use in the clinic?*

Stravitz RT, Ilan Y. Liver Int. 2016 Oct 8. doi: 10.1111/liv.13268. [Epub]



DECHOVÝ TEST s ^{13}C - METACETINEM



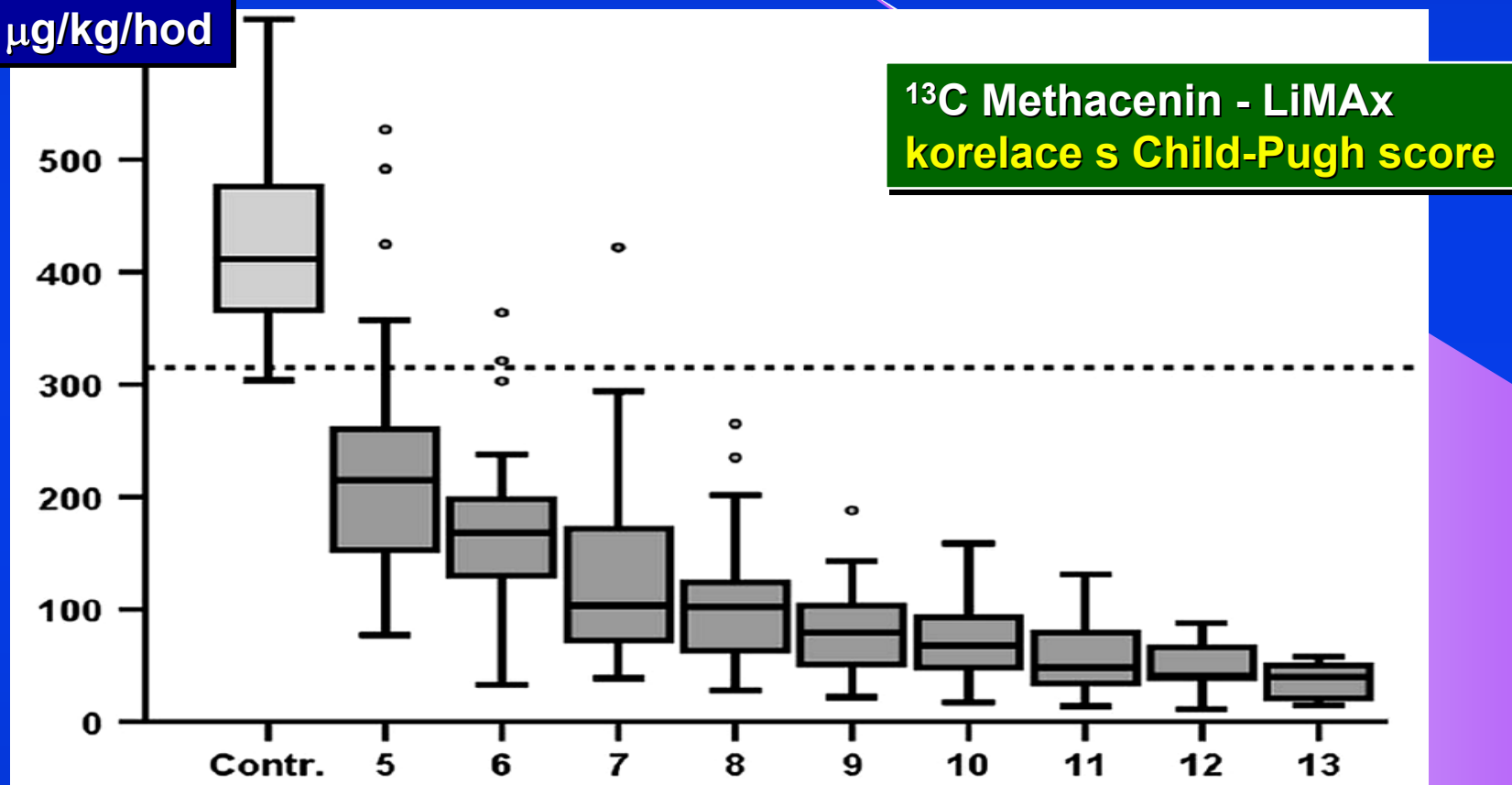
Exalenz BreathID POCT analyzátor
kontinuální detekce poměru $^{13}\text{C}/^{12}\text{C}$
Molekulárně korelační spektroskopie (MCS)
Klinické studie 2016-2019 s ^{13}C -metacetinem
Nealkoholická hepatitída (NASH, NAFLD),
riziko cirhózy u transplantací jater

**^{13}C Methacatin - MBT analyzující jaterní funkce,
může spolehlivě předpovídat dekompenzaci jater
u pacientů s kompenzovanou NASH cirhózou.**

The noninvasive point of care MBT accurately predicts decompensation events better than MELD in compensated ($\text{MELD} < 15$) NASH cirrhotics.

Chalasani N, Lawitz E, Abdelmalek M. et al.,

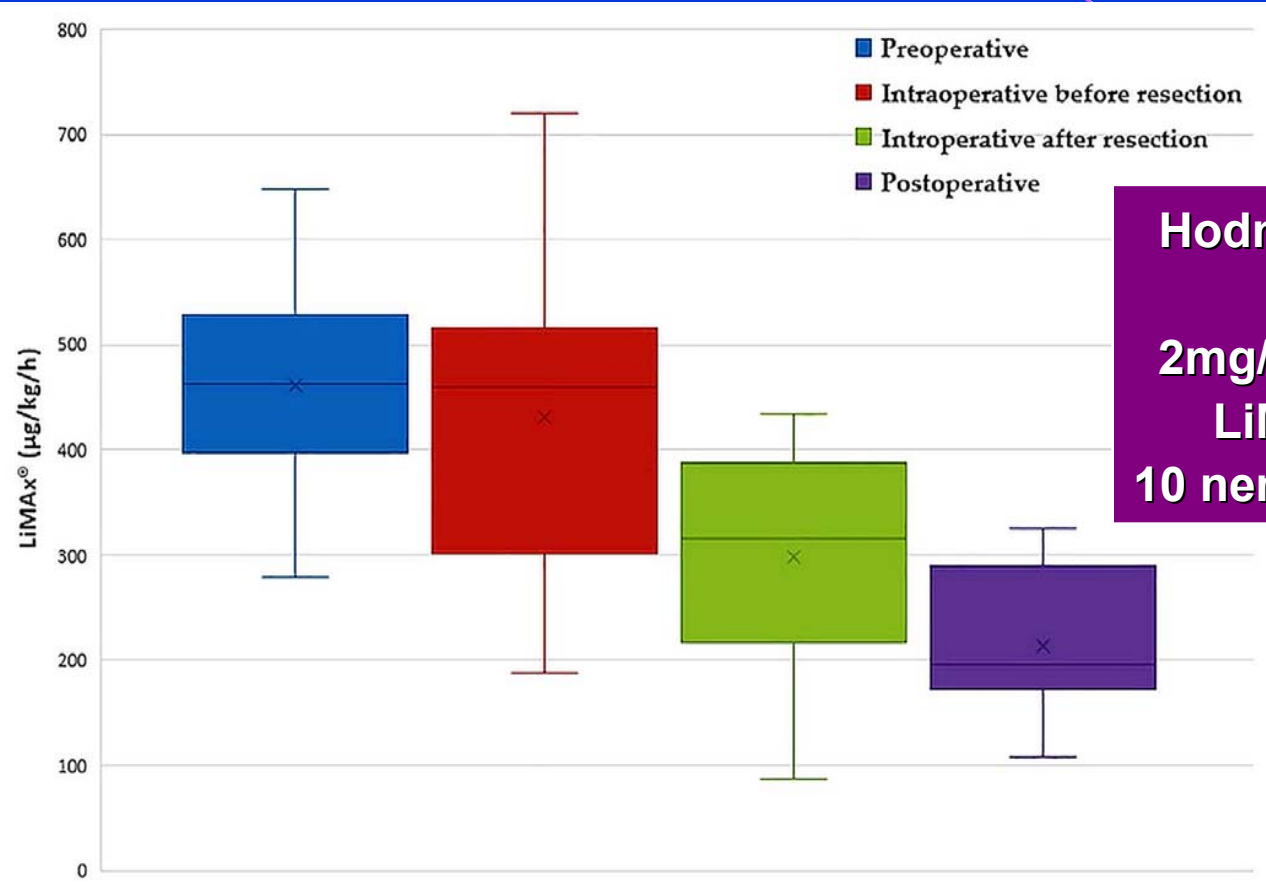
AASLD Liver Meeting, San Francisco, November 2018, Abstract No.1337

DECHOVÝ TEST s ^{13}C - METACETINEMLiMAX $\mu\text{g/kg/hod}$ 

Enzymatic liver function capacity correlates with disease severity of patients with liver cirrhosis: a study with the LiMAX test.

Malinowski M, Jara M, Lüttgert K. et al. *Dig Dis Sci.* 2014 Dec;59(12):2983-2991

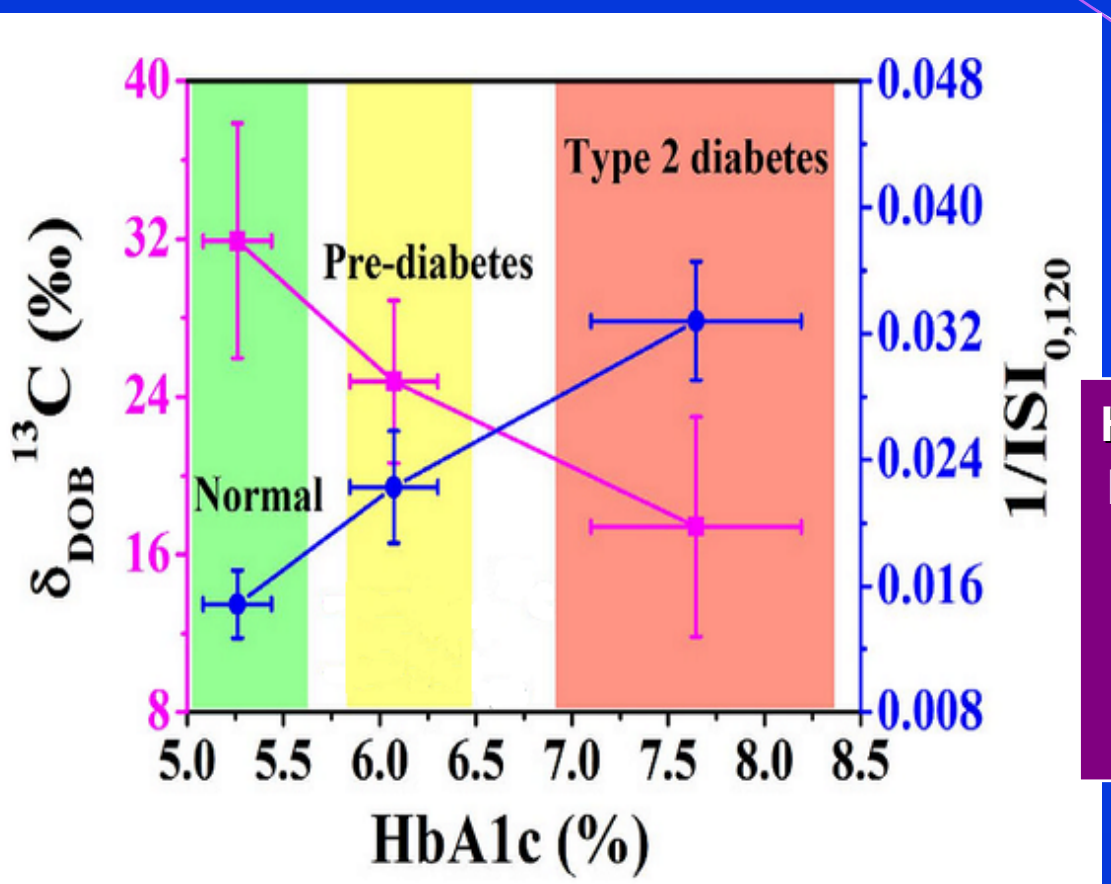
^{13}C -METHACETIN DECHOVÝ TEST



Hodnocení jaterních funkcí
v reálném čase
2mg/kg ^{13}C -methacetinu i.v
LiMAX skóre v $\mu\text{g}/\text{kg}/\text{h}$
10 nemocných s resekcí jater

First intraoperative measurement of liver functional capacity during liver surgery using the ^{13}C -methacetin breath test: early results of a pilot study.
Makridis G, Oldhafer KJ. J Hepatobiliary Pancreat Sci. 2020; 27(5): 280-281

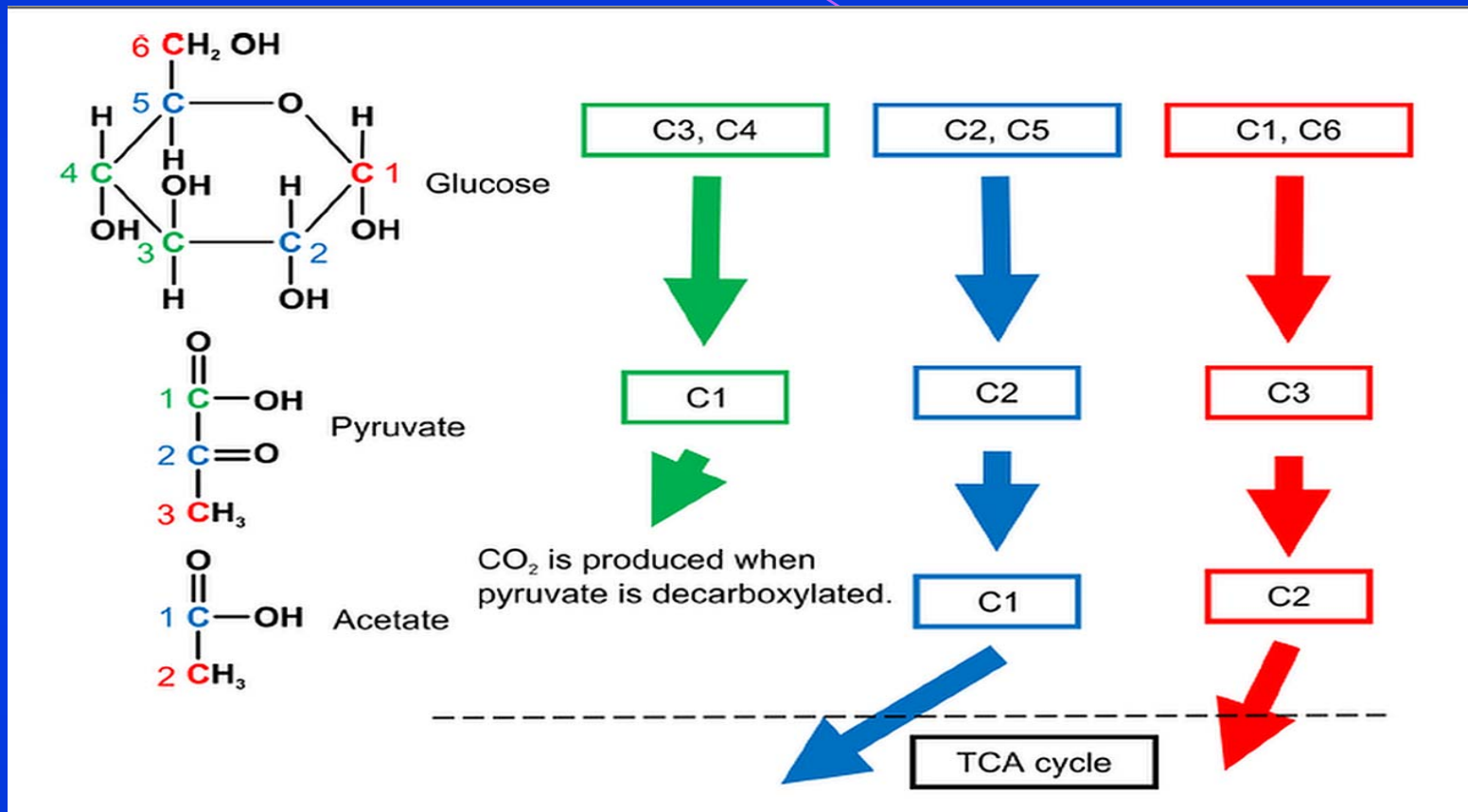
¹³C-GLUKÓZOVÝ DECHOVÝ TEST



Hodnocení inzulínové rezistence
Dg. pre-diabetu a diabetu 2.typu
Index inzulínové senzitivity
Soubor 31 NDC, 38 PD a 47 T2D
75mg ¹³C₆ D-glukózy (¹³C-GBT)
ISI₁₂₀ je citlivější než HOMA-IR

Insulin sensitivity index (ISI_{0, 120}) potentially linked to carbon isotopes of breath CO₂ for pre-diabetes and type 2 diabetes. Ghosh C, Mukhopadhyay P, Ghosh S, Pradhan M. Sci Rep. 2015; 5: e11959

DECHOVÝ TEST s ^{13}C - GLUKÓZOU



Investigation of Metabolism of Exogenous Glucose at the Early Stage and Onset of Diabetes Mellitus in Otsuka Long-Evans Tokushima Fatty Rats Using [1, 2, 3-13C]Glucose Breath Tests. Kawagoe N, Kano O, Kijima S, Tanaka H, Takayanagi M, Uruta Y. PLoS One. 2016; 11(8): e0160177

^{13}C -DECHOVÝ TEST V AKUTNÍ MEDICÍNĚ



Isomark Canary™ - BDV větší než 1,4% přesně rozlišuje subjekty, u nichž se objevují infekce a před klinickým potvrzením předpovídá přítomnost infekce až 48 hodin. BDV může předvídat nástup infekce a pomáhat při odlišení SIRS od infekce, což by mohlo vyvolat dřívější diagnózu, dříve vhodnou léčbu a zlepšit výsledky.

Changes in exhaled $^{13}\text{CO}_2/^{12}\text{CO}_2$ breath delta value as an early indicator of infection in intensive care unit patients. O'Rourke AP, Buckman SA, Evans DC, Kerwin AJ, Breunig EA, Bütz DE. J Trauma Acute Care Surg. 2019 Jan;86(1):71-78.



^{13}C -EBT - DECHOVÝ TEST NA ODBOURÁVÁNÍ ALKOHOLU



^{13}C -EBT - ^{13}C Ethanol Breath Test
testovacím substrátem je
 $100 \mu\text{l} \ ^{13}\text{C}$ -etanolu
ve 100 ml Asahi piva
testován byl polymorfismus
alkohol dehydrogenázy (ADH) a
aldehyd dehydrogenázy (ALDH)

*Evaluation of alcohol metabolism in humans using the non-invasive [^{13}C]-ethanol breath test – influence of gender, *Helicobacter pylori* infection and polymorphism of alcohol-oxidizing enzymes. Suzuki M, Tanaka S, Komatsu H, et al. Alimentary Pharmacology & Therapeutics 2006; 2: 177-181.*



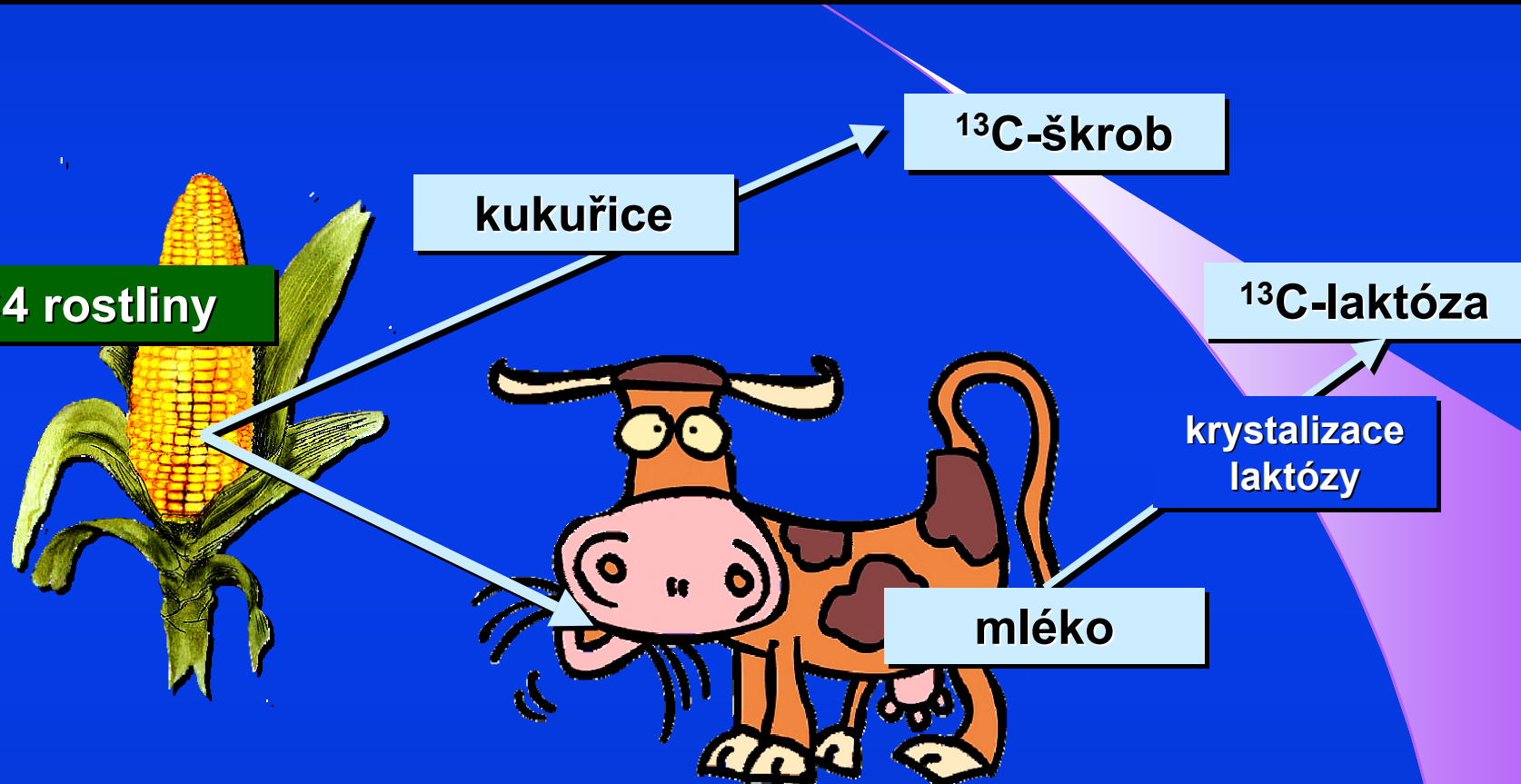
Dechový test	Indikace	Senzitivita	Specificita
¹³ C-Glykocholát	SIBO	76%	35%
¹³ C-Xylóza	SIBO	89%	30%
¹³ C-Laktóza	Malabsorpce	84%	96%
¹³ C-Urea	Hp infekce	96%	93%
¹³ C-Aminopyrin	Jaterní testy	86%	68%
¹³ C-Metacetin	Jaterní testy	93%	94%
¹³ C-Fenylalanin	Jaterní testy	98%	60%
¹³ C-Mixed-triglycerid	Pankreat.insuficience	89%	81%
¹³ C-Oktanoát	Vyprazdňování žaludku	67%	80%

Update on diagnostic value of breath test in gastrointestinal and liver diseases.
Siddiqui I, Ahmed S, Abid S.

World J Gastrointest Pathophysiol. 2016 Aug 15;7(3):256-265



PŘIROZENÉ SUBSTRÁTY ^{13}C PRO DECHOVÉ TESTY



^{13}C -enriched lactose, derived from milk of cows fed with silo corn ($d = -10.885$) for 5 weeks. Because it is known that it takes 14 days for cows milk to be in equilibrium with a diet, milk of seven cows was collected during the last 3 weeks of this 5-week period and pooled. Lactose was obtained by crystallization techniques.



PŘIROZENÉ SUBSTRÁTY ^{13}C PRO DECHOVÉ TESTY

J Gastroenterol Hepatol. 2005 Aug; 20(8): 1228 - 1234

Feasibility of a breath test with a substrate of natural ^{13}C -abundance and isotope-selective non-dispersive infrared spectrometry: a preliminary study.

Jonderko K, Kasicka-Jonderko A, Syrkiewicz-Trepiaik D, Blonska-Fajrowska B.

Naturally (^{13}C)-enriched starch and NDIRS provides background for future research on the clinical usefulness of this method for a non-invasive assessment of the pancreatic exocrine function.

J Lab Clin Med. 1988 Aug; 112(2): 193 - 200

$^{13}\text{CO}_2$ breath test using naturally ^{13}C -enriched lactose for detection of lactase deficiency in patients with gastrointestinal symptoms.

Hiele M, Ghoos Y, Rutgeerts P, Vantrappen G, Carchon H, Eggermont E.

The $^{13}\text{CO}_2$ breath test was found to be more sensitive (0.84 versus 0.68) and more specific (0.96 versus 0.89) than the H_2 breath test in detecting low jejunal lactase activity.

The American Society for Nutritional Sciences J. Nutr. 134: 1193 - 1196, May 2004
A Combined $^{13}\text{CO}_2/\text{H}_2$ Breath Test Can Be Used to Assess Starch Digestion and Fermentation in Humans

Erin L. Symonds, Stamatiki Kritis, Taher I. Omari and Ross N. Butler

The $^{13}\text{CO}_2/\text{H}_2$ breath test can be used to estimate digestion and fermentation of starches in different physiologic and pathologic conditions.



DOPORUČENÉ POSTUPY (GUIDELINES)

Toto doporučení by mělo zlepšit celoevropskou harmonizaci diagnostických přístupů k symptomům a poruchám, které jsou velmi časté v gastroenterologické praxi jak specialistů tak primární péče u dospělých i dětských pacientů.

Kromě toho tato příručka identifikuje oblasti budoucího klinického výzkumu zahrnující použití ^{13}C dechových testů

^{13}C -UBT Urea Breath Test

^{13}C GEBT Gastric Emptying Breath Tests

^{13}C PFBT Pancreatic Function Breath Tests

^{13}C MTGBT Mixed Triglyceride Breath Test

^{13}C LFBT Liver Function Breath Tests

European guideline on indications, performance and clinical impact of ^{13}C -breath tests in adult and pediatric patients: An EAGEN, ESNM, and ESPGHAN consensus, supported by EPC. Keller J, Hammer HF, Afolabi PR et al. United European Gastroenterol J. 2021; 9: 598–625



¹³C DECHOVÉ TESTY V DALŠÍCH OBORECH

(¹³C)-tryptophan breath test detects increased catabolic turnover of tryptophan along the kynurenine pathway in patients with major depressive disorder.
Teraishi T, Hori H, Sasayama D. et al. Sci Rep. 2015 Nov 3;5:15994.

Our results suggest that the ¹³C-TBT could be a novel biomarker for detecting a subgroup of MDD with increased tryptophan–KYN metabolism.

¹³C-phenylalanine breath test detects altered phenylalanine kinetics in schizophrenia patients. Teraishi T, Ozeki Y, Hori H. et al. *Transl Psychiatry.* 2012 May 22;2:e119

Our results suggest that ¹³C-PBT is a novel laboratory test that can detect altered phenylalanine kinetics in chronic schizophrenia patients.

A rapid non invasive L-DOPA-¹³C breath test for optimally suppressing extracerebral AADC enzyme activity - toward individualizing carbidopa therapy in Parkinson's disease.
Modak A, Durso R, Josephs E. et al. J Parkinsons Dis. 2012;2(4):349-56.

The LD-breath test can be a useful noninvasive diagnostic tool for evaluation of AADC enzyme activity using the biomarker ¹³CO₂ in breath, a first step in personalizing CD doses for PD patients.



DECHOVÉ ANALYZÁTORY PRO DETEKCI VODÍKU



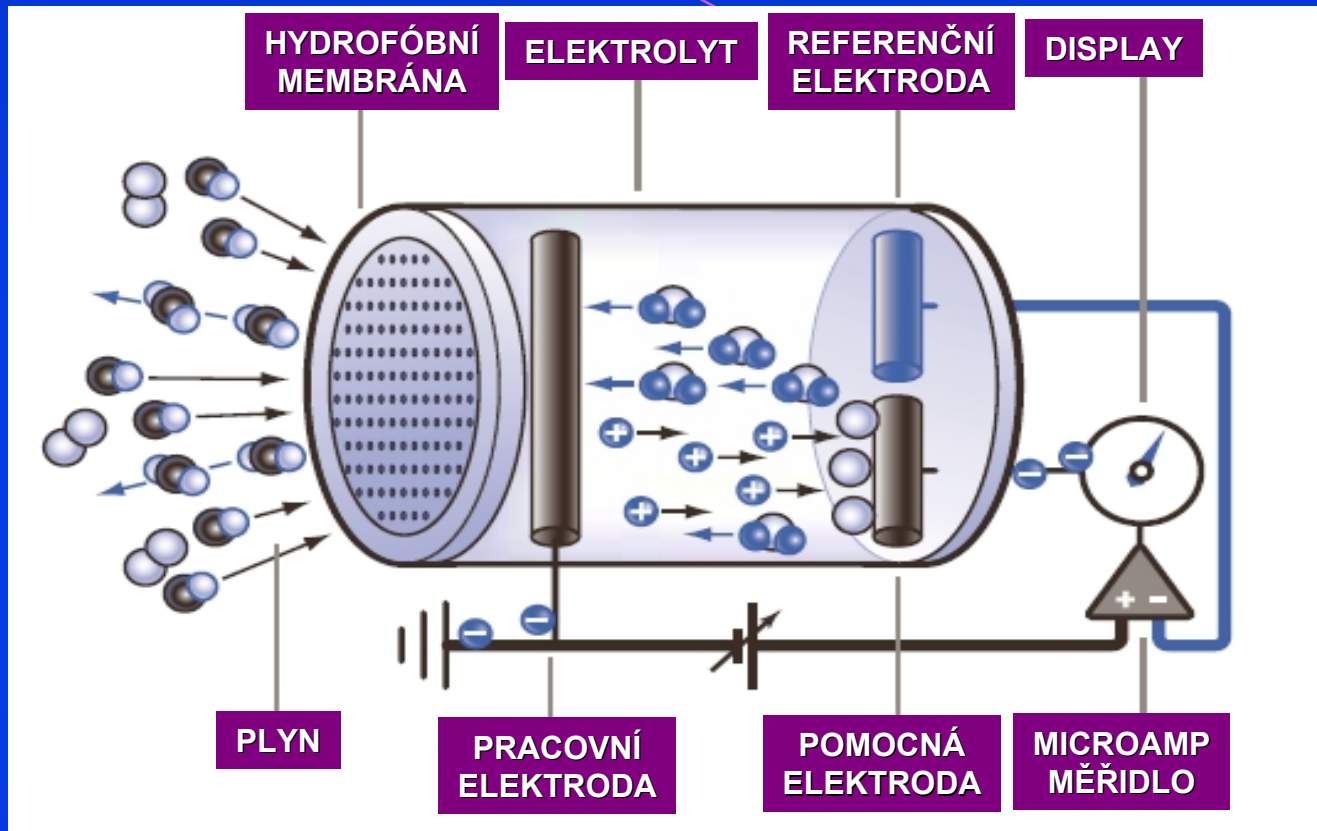
Gastrolyzer, Bedfont



LactoFAN, FAN



H2 Check, MD Diagnostics



**H₂ ANALYZÁTORY JSOU ZALOŽENY
NA ELEKTROCHEMICKÉM DETEKTORU VODÍKU
AMPEROMETRICKÉ (MICRO-FUEL)**



PROČ NESTAČÍ ANALÝZA VODÍKU ?

Plyn	Množství
Vodík	H_2
Metan	CH_4
Oxid uhličitý	CO_2
Dusík	N_2
Kyslík	O_2

*Plyny v trávicím traktu, Lukáš K.
Čes a Slov Gastroent a Hepatol 2009; 63(1): 20-24*

Metan produkuje 24 - 48% populace

*Role of hydrogen and methane breath testing in gastrointestinal diseases
Di Stefano M., Corazza GR. Dig. Liver Disease Suppl.3 (2009) 40–43*



BAKTERIÁLNÍ TVORBA STŘEVNÍCH PLYNŮ

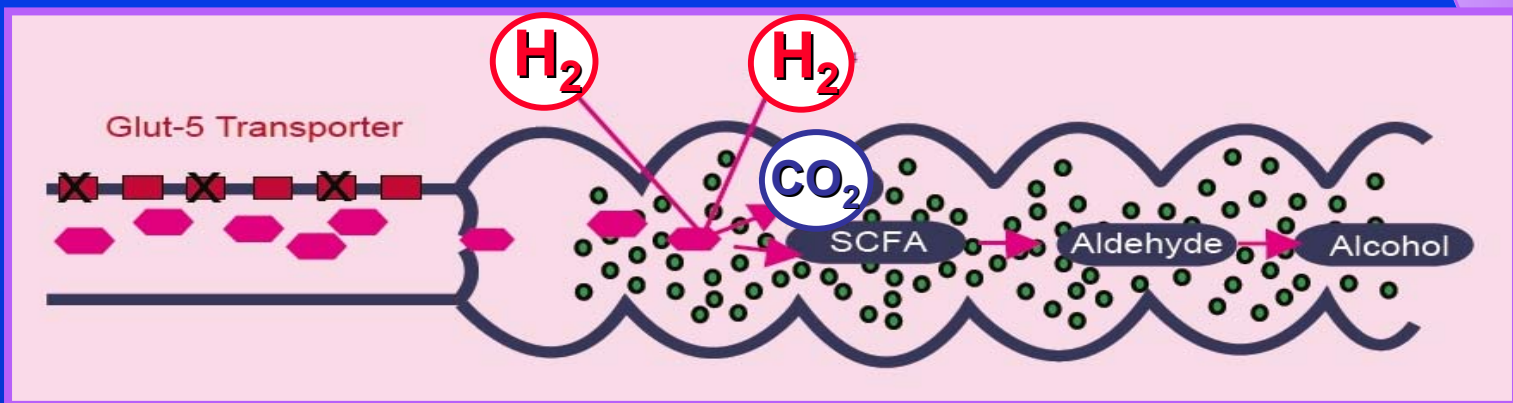
metanogení bakterie



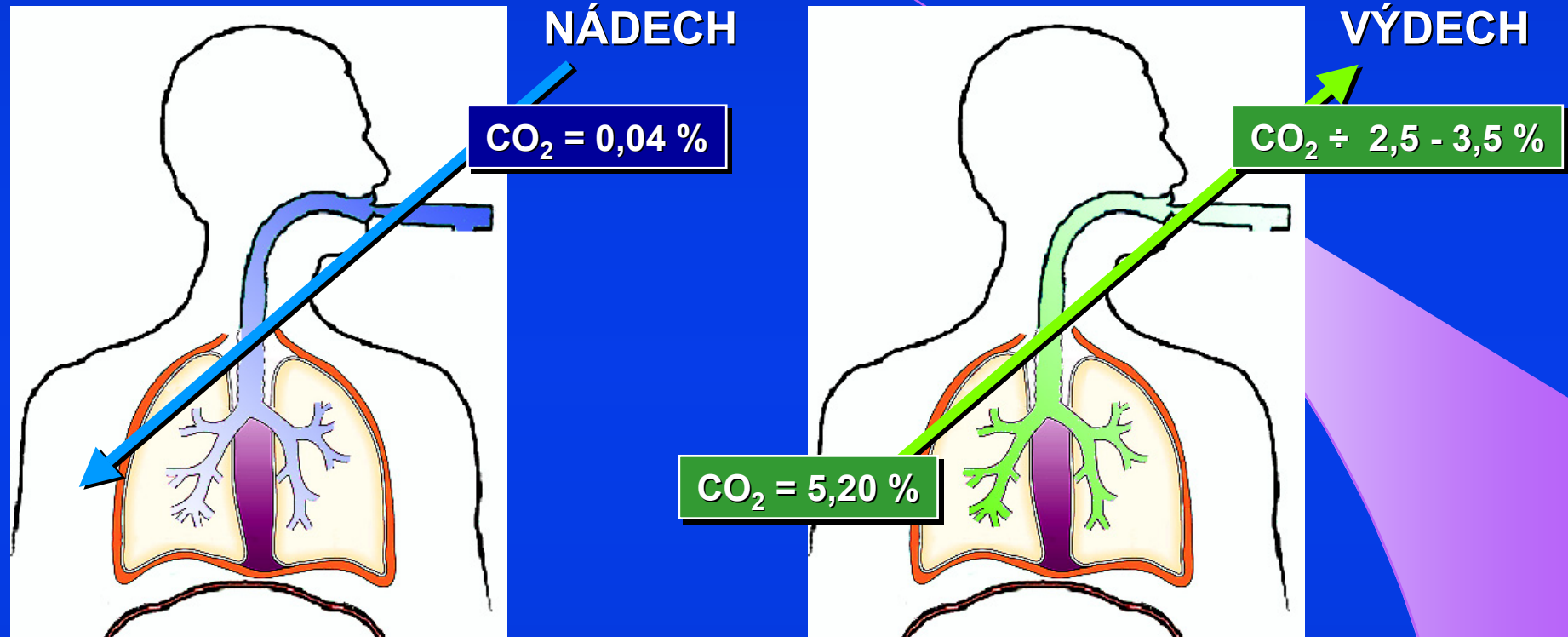
sulfát redukující bakterie



acetogení bakterie



PROČ JE TŘEBA DALŠÍ, TŘETÍ ANALYT ?



NÁDECH - VÝDECH (BEZ ZADRŽENÍ DECHU)

NÁDECH - ZADRŽENÍ DECHU - KRÁTKÝ VÝDECH

NÁDECH - ZADRŽENÍ DECHU NA 10 sec - DLOUHÝ VÝDECH KONC.CO₂ JE OK

NÍZKÁ KONC.CO₂

NÍZKÁ KONC.CO₂



PROČ JE TŘEBA DALŠÍ, TŘETÍ ANALYT ?

Pokud je alveolární vzorek vzduchu kontaminovaný se vzduchem v místnosti, koncentrace CO_2 ve vzorku se sníží, stejně jako další měřené plyny ve vzorku - H_2 a CH_4

Korekční faktor = alveolární koncentrace CO_2 / koncentrace CO_2 ve vzorku

Korekční faktor nastavený podle koncentrace CO_2 minimalizuje chyby způsobené nesprávným odběrem vzorku



ALVEOLÁRNÍ KONCENTRACE CO₂

CO₂ je fyziologickým regulátorem dýchání, a alveolární tlak pCO₂ je konstantní - 40 mm Hg (torr). Proto je CO₂ nejspolehlivějším "normalizátorem" měřených plynů ve vzorku.

Zahraniční studie prokazují,
že použití alveolární koncentrace 5,5%,
je vhodné pro výpočet korekčního faktoru

Alveolární pCO₂ je konstantní - 40 mm Hg.
Procento CO₂ v alveolárním vzduchu je ovlivněno barometrickým tlakem.
Alveolární vzduch s pCO₂ 40 mm Hg, na úrovni hladiny moře,
bude mít koncentraci CO₂ asi 5,5%
zatímco alveolární vzduch např. v Denveru bude mít CO₂ 6,8%
(1610 m.n.m., barometrický tlak je 625 torru)



ANALYZÁTOR VODÍKU A METANU - LACTOTEST-202 XTEND

ABSORBÉR
VLHKOSTI A CO₂



PLASTOVÝ VAK NA
ODBĚR VYDECHOVANÉHO
VZDUCHU, PRŮCHOZÍ



ANALYZÁTOR VODÍKU A METANU - LACTOTEST-202 XTEND

Dechový test na SIBO, 75g glukózy,

Vzorky dechu odebíráme po 15 minutách 3 hodiny

Dechový test na laktózovou/fruktózovou intoleranci

20g laktózy/25g fruktózy

Vzorky dechu odebíráme po 15 minutách 4 hodiny

Pozitivita testu – vzestup H_2/CH_4 o 10ppm proti basální hodnotě

Výkon 81702 od 1.1.2024, 1687 bodů

KLINICKÉ VÝSLEDKY:

POČET DECHOVÝCH TESTŮ:

1920 x

PODEZŘENÍ NA SIBO

79,9 % testů

POZITIVITA – 43.2%

PODEZŘENÍ NA MALABSORPCI

20,1% testů

POZITIVITA – 55.2%



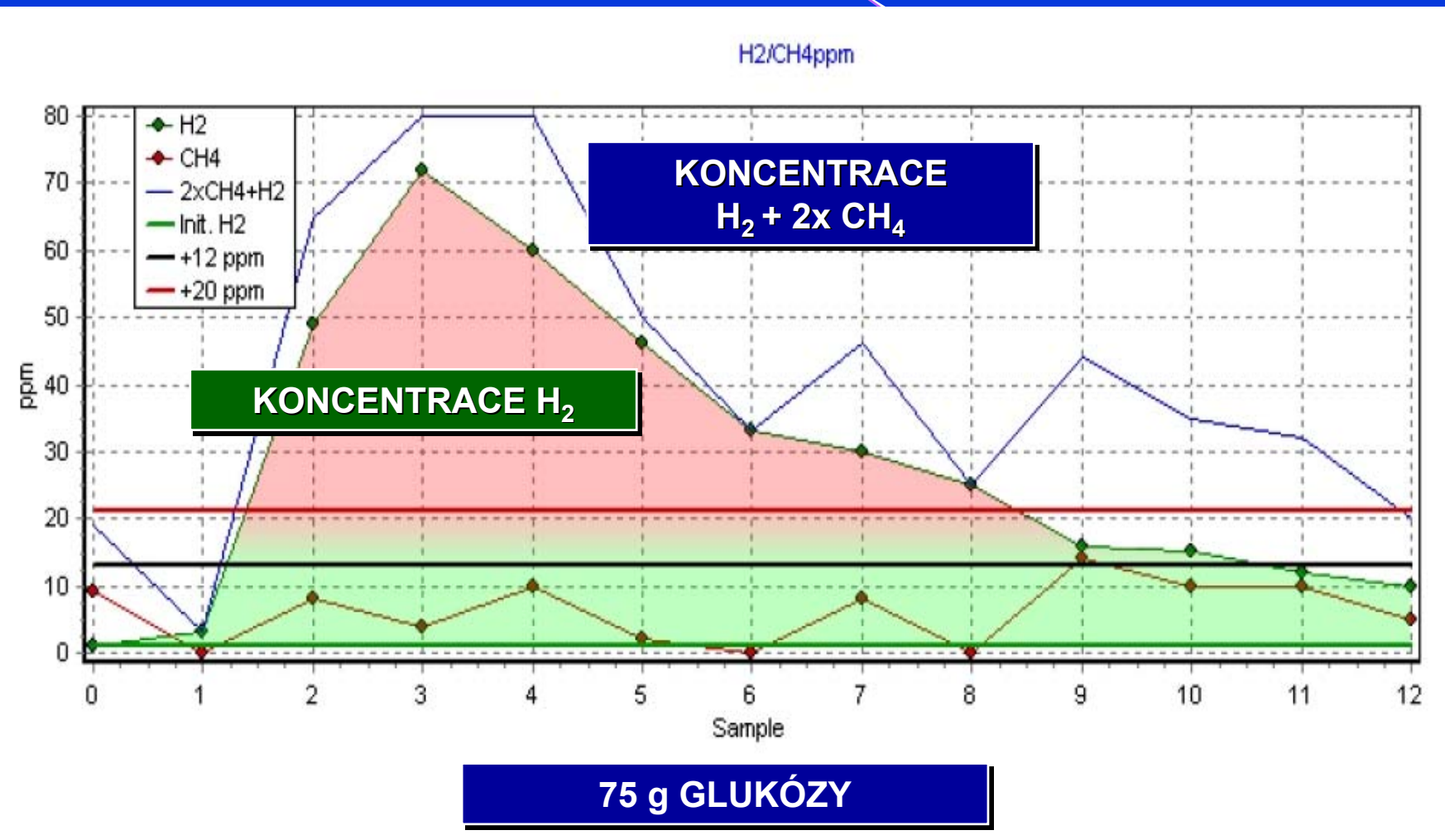
H₂ /CH₄ DECHOVÉ TESTY, INDIKACE, SPOLEHLIVOST

Dechový test	Indikace	Senzitivita	Specificita
Glukózový HBT	SIBO	62%	83%
Laktulózový HBT	SIBO	31%	86%
Fruktózový HBT	Malabsorpce	98%	86%
Laktózový HBT	Malabsorpce	80%	100%

Update on diagnostic value of breath test in gastrointestinal and liver diseases.
Siddiqui I, Ahmed S, Abid S.

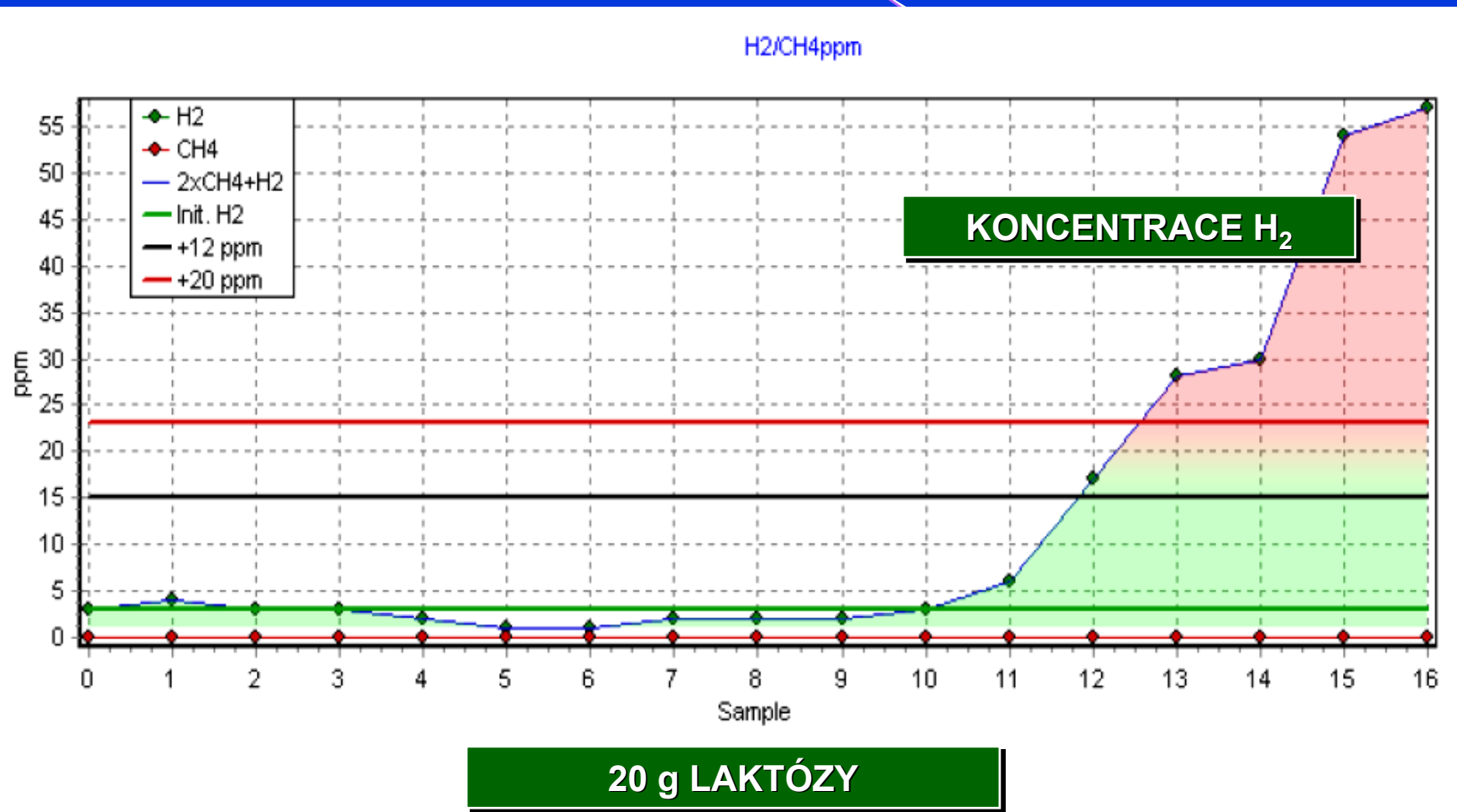
World J Gastrointest Pathophysiol. 2016 Aug 15;7(3):256-265

ANALYZÁTOR VODÍKU A METANU - LACTOTEST-202 XTEND

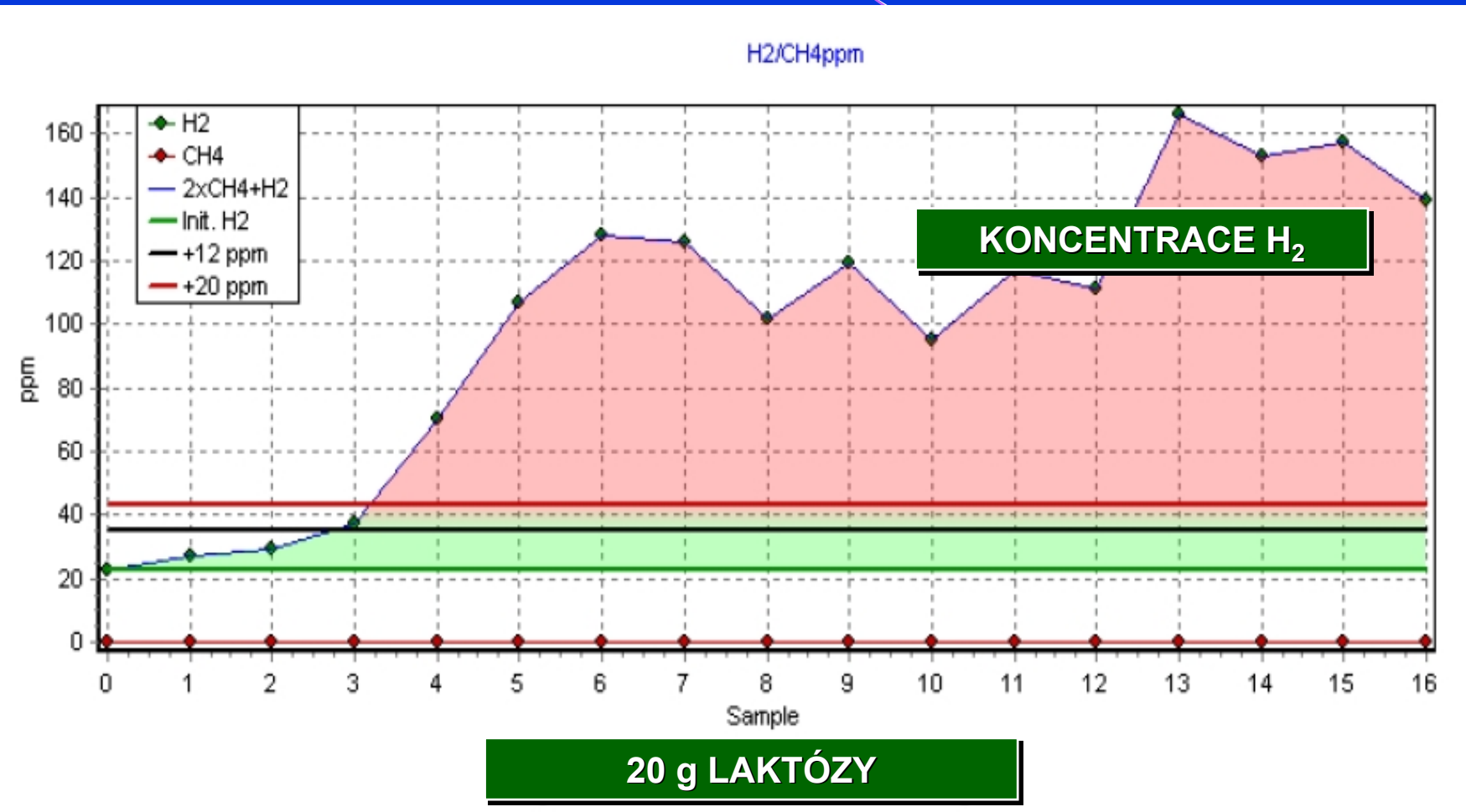




ANALYZÁTOR VODÍKU A METANU - LACTOTEST-202 XTEND



H₂/CH₄/CO₂ - LAKTÓZOVÁ INTOLERANCE + SIBO



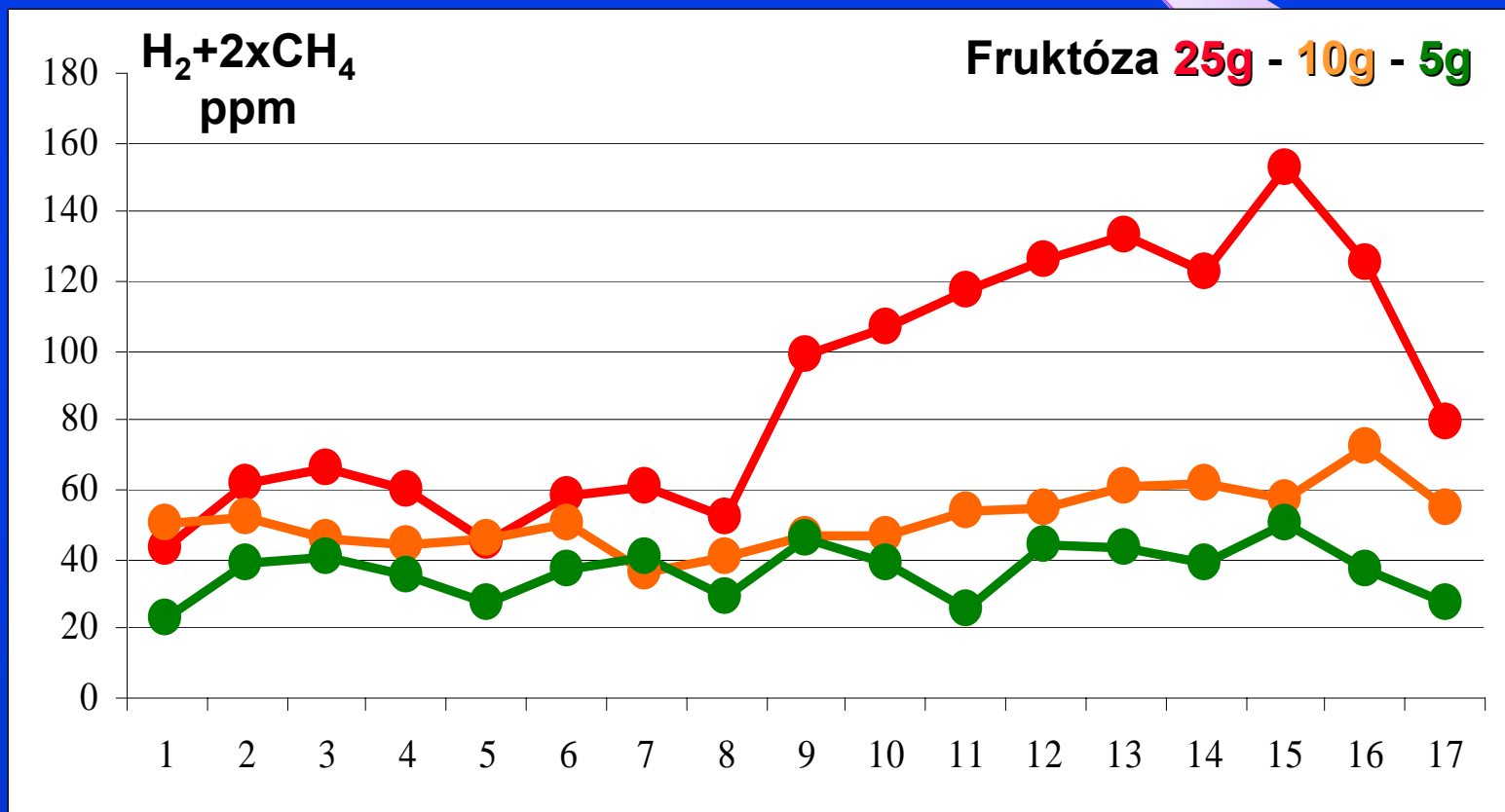


H₂-FRUKTÓZOVÝ DECHOVÝ TEST

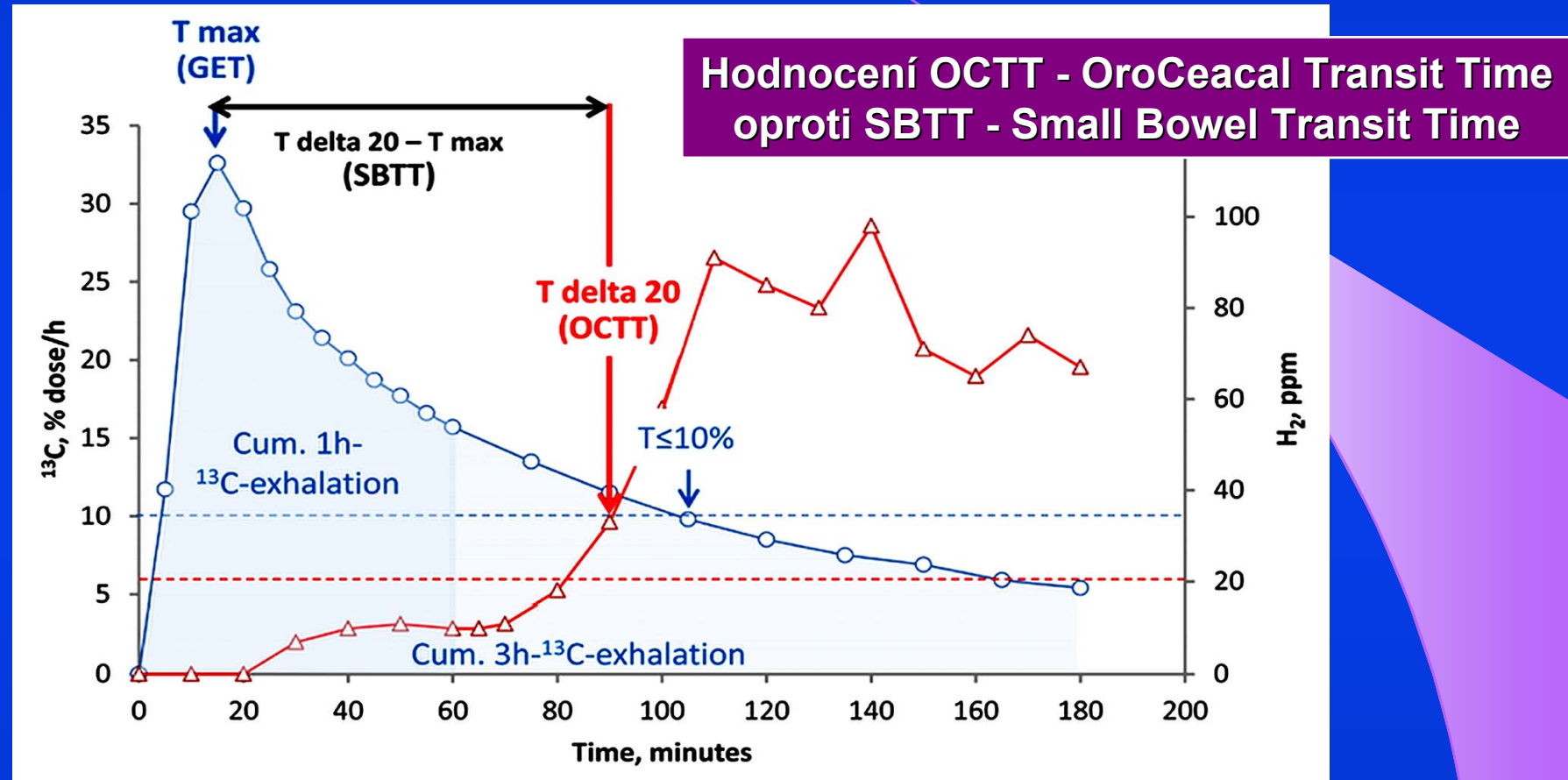
Fruktózový dechový test - 46 letá pacientka L.S.

Dechový test proveden během 6 týdnů 3x, fruktóza v dávce 25g, 10g a 5g

Vzorky odebírány 4 hodiny po 15 minutách



^{13}C -ACETÁTOVÝ a H_2 -LAKTULÓZOVÝ DECHOVÝ TEST



Simultaneous non-invasive measurement of liquid gastric emptying and small bowel transit by combined ^{13}C -acetate and H_2 -lactulose breath test.
Bertram F, Andresen V, Layer P, Keller J. J Breath Res. 2014; 8(4): e046007



TRIO-TEST S DETEKcí VODÍKU, METANU A SIROVODÍKU

HYDROGEN

Indicative of:
Small Intestinal Bacterial Overgrowth (SIBO)

Correlated with:
No correlation with symptoms

METHANE

Indicative of:
Intestinal Methanogenic Overgrowth (IMO)

Correlated with:
Constipation



HYDROGEN SULFIDE

Indicative of:
Excess Hydrogen Sulfide

Correlated with:
Diarrhea

Trio-smart breath test
PacificDx Lab v Kalifornii
Hodnocení H_2 , CH_4 a H_2S
Korekce na CO_2
4-Gas Device

Validation of a 4-Gas Device for Breath Testing in the Determination of Small Intestinal Bacterial Overgrowth. Singer-Englar T, Rezaie A, Gupta K. et al. Gastroenterology, 2018, 154(6), s. 281



DOPORUČENÉ POSTUPY (GUIDELINES)

Toto doporučení pro klinickou praxi by měl usnadnit celoevropskou harmonizaci diagnostických přístupů k symptomům a poruchám, které jsou velmi běžné v gastroenterologické praxi specialistů a primární péče, a to jak u dospělých, tak u dětských pacientů. Kromě toho identifikuje oblasti budoucích potřeb výzkumu k objasnění diagnostických a terapeutických přístupů.

H₂BT - Hydrogen Breath Tests

Small intestinal bacterial overgrowth - SIBO - glucose, lactulose

Oro-cecal transit time - OCTT - lactulose, inulin

Carbohydrate malabsorption:

Lactose malabsorption - lactose, Fructose malabsorption - fructose

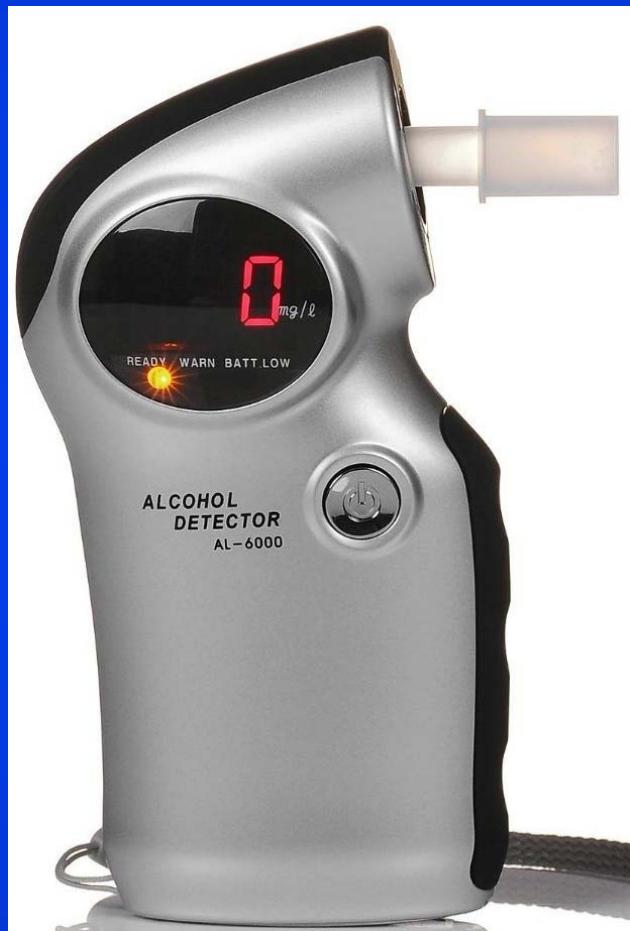
European guideline on indications, performance, and clinical impact of hydrogen and methane breath tests in adult and pediatric patients.

EAGEN, ESNM and ESPGHN consensus. Hammer HF, Fox MR, Keller J. et al.

United European Gastroenterol J. 2022; 10: 15-40.



RUTINNÍ TEST NA ALKOHOL – KLINICKÝ PŘÍNOS



37letý dříve zdravý muž
při nástupu služby do ponorky
rutinně testován na alkohol
Diabetická ketoacidóza
pozitivní výsledek ručního alkoholtestera

Early Detection of Diabetic Ketoacidosis by Breathalyzer in a Sailor Reporting for Duty. Reinhart J. Mil Med. 2019; 184(11-12): e951-e952

ANALÝZA OXIDU DUSNATÉHO (FeNO) V PNEUMOLOGII

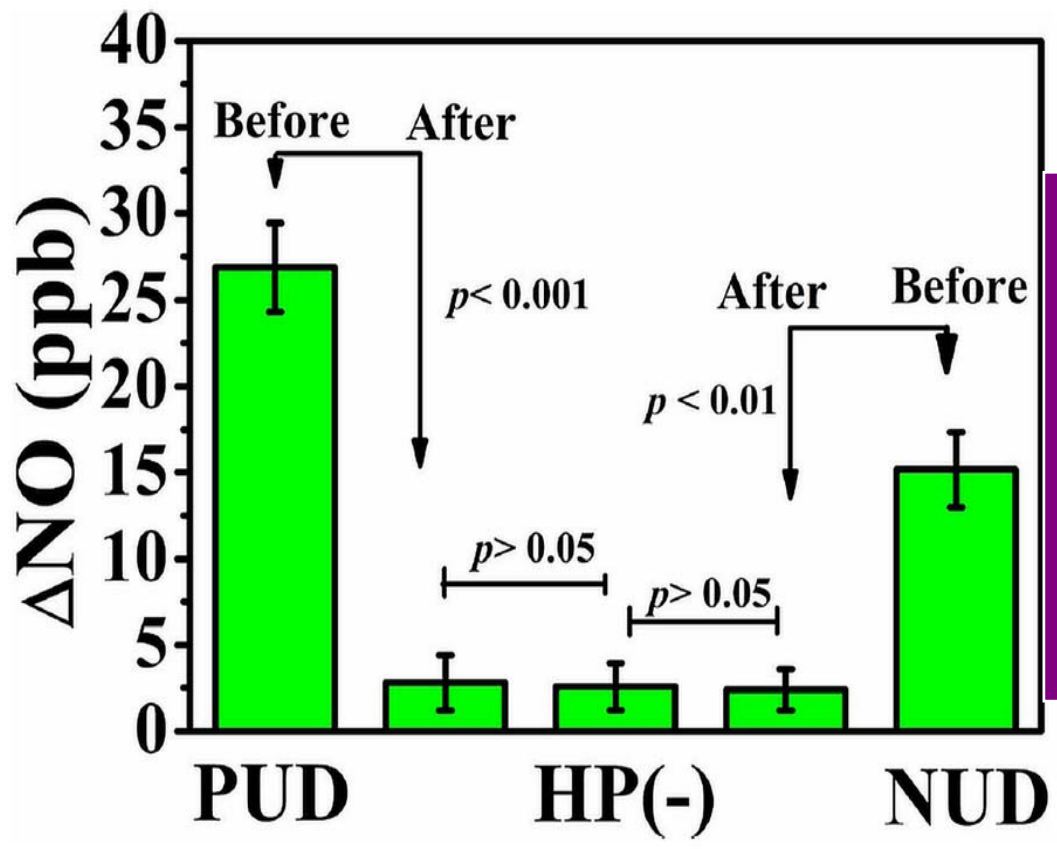


COPD je heterogenní porucha s různými fenotypy. Studie je zaměřena na stanovení prevalence astmatické anamnézy, periferní eozinofilie a zvýšených hladin FeNO spolu s diagnostickou efektivitou periferní eozinofilie při identifikaci eozinofilního zánětu dýchacích cest.

FeNO
Fractional exhaled Nitric Oxide

Eosinophilia and fractional exhaled nitric oxide levels in chronic obstructive lung disease. Annangi S, Nutalapati S, Sturgill J et al. Thorax. 2021 Aug 20. Epub. PMID: 34417353.

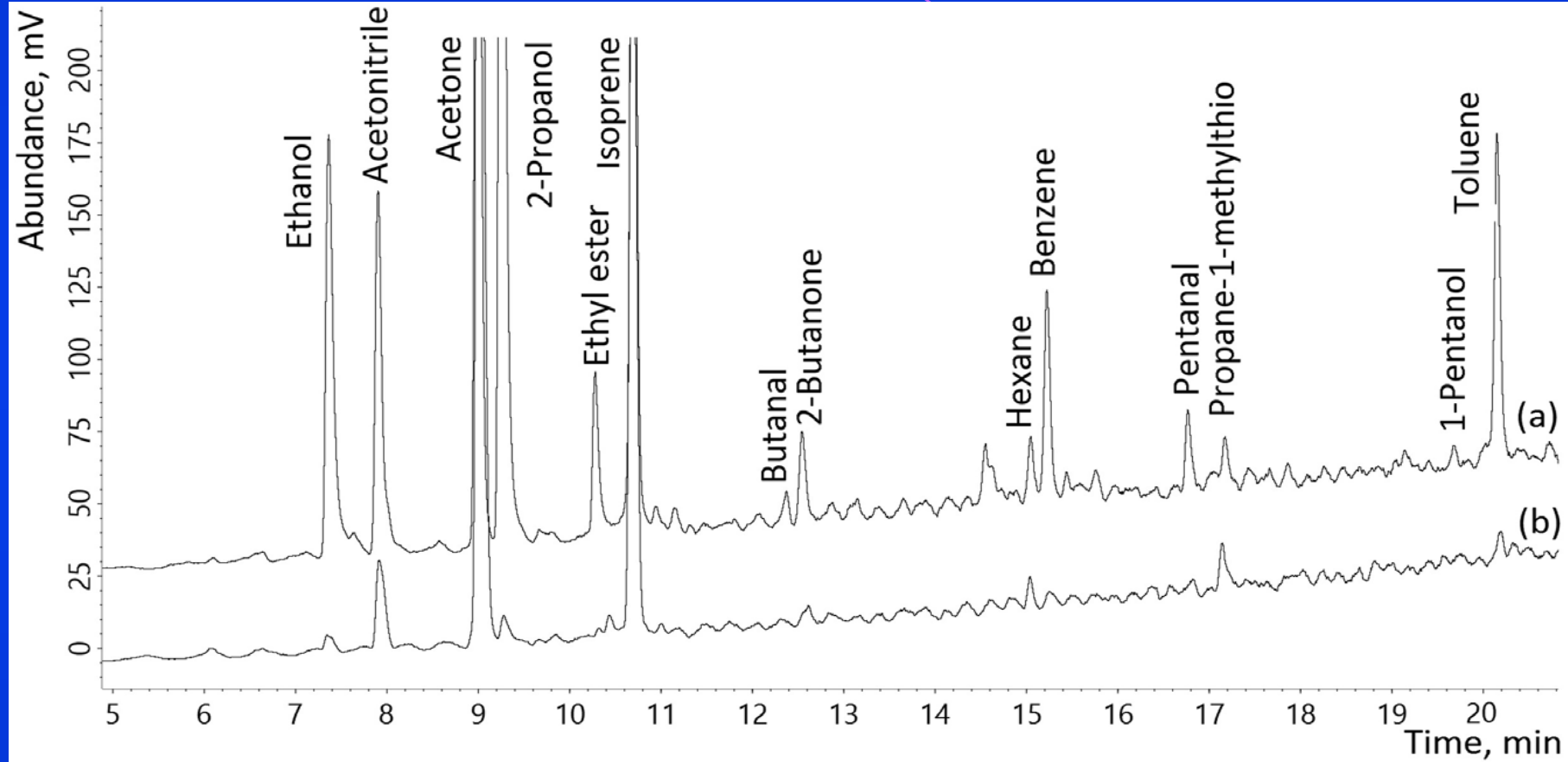
ANALÝZA OXIDU DUSNATÉHO (NO) V GASTROENTEROLOGII



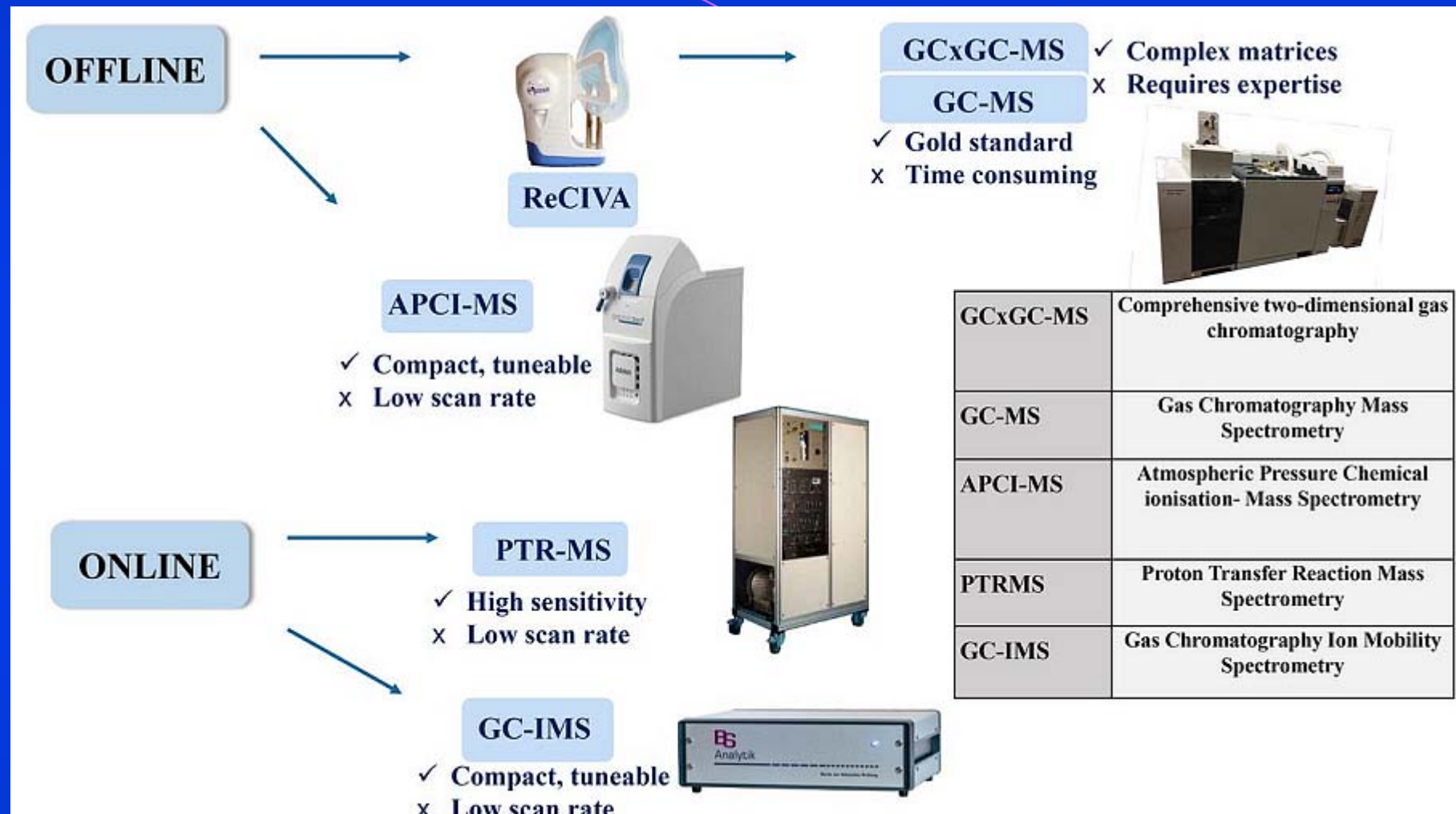
NUD (Non Ulcer Dyspepsia) n=64
PUD (Peptic Ulcer Disease) n=56
Hp negativní kontroly n=49
 Δ NO (ppb) detekce CRDS
Cavity Ring-Down Spectroscopy
 $\delta^{13}\text{C}$ (< 3‰) ^{13}C -UBT detekce ICOS
Laser-Based Integrated
Cavity Output Spectroscopy

Exhaled nitric oxide as a potential marker for detecting non-ulcer dyspepsia and peptic ulcer disease. Som S, Dutta Banik G, Maity A et al. J Breath Res. 2018; 12(2): e026005

VOC – TĚKAVÉ ORGANICKÉ LÁTKY V DECHU



*Investigation of different approaches for exhaled breath and tumor tissue analyses to identify lung cancer biomarkers. Gashimova E, Temerdashev A, Porkhanov V. et al. *Helijon*. 2020; 6(6): e04224.*



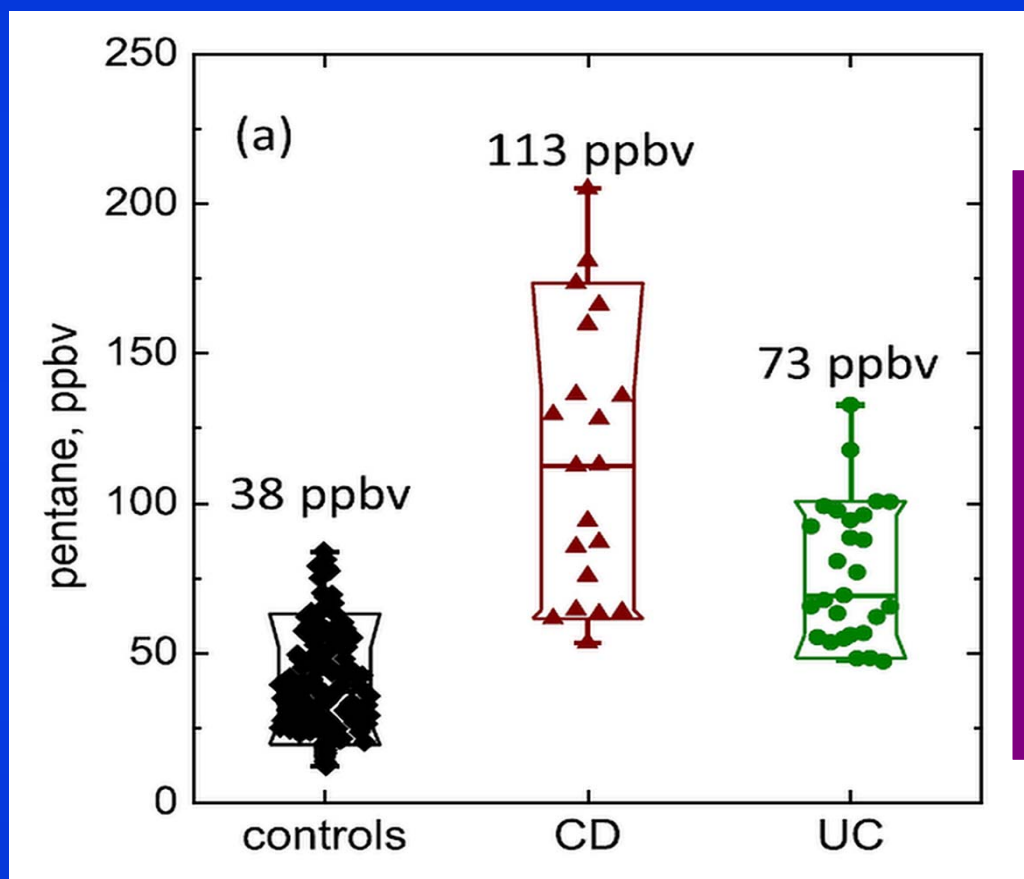
Assessment of breath volatile organic compounds in acute cardiorespiratory breathlessness: a protocol describing a prospective real-world observational study. Ibrahim W, Wilde M, Cordell R. BMJ Open. 2019; 9(3): e025486



Aceton	diabetes, chron.onemocnění ledvin, CA plic
Acetaldehyd	CA prsu
Formaldehyd	CA plic
Hexanol	CA plic
Oktanol	Alzheimer
Etanol	steatóza jater, diabetes, CA lic
Ethylbenzen	Parkinson, diabetes
Isopren	chron.onemocnění ledvin, CA plic
Styren	Alzheimer, Parkinson, chron.onemocnění ledvin, CA plic
Benzen	Alzheimer, Parkinson, TB, KRCA
Hexan	Alzheimer, CA plic, hlavy a krku
Dekan	Alzheimer, CA plic, hlavy a krku, prsu a prostaty
Oktan	Alzheimer, Parkinson, chron.onemocnění ledvin, CA plic, hlavy a krku

Investigation of different approaches for exhaled breath and tumor tissue analyses to identify lung cancer biomarkers. Gashimova E, Temerdashev A, Porkhanov V. et al. Heliyon. 2020; 6(6): e04224.

ANALÝZA VOC U NEMOCNÝCH S IBD



Studie byla provedena na VOC
ve vydechovaném vzduchu
Zánětlivé onemocnění střev (IBD)
136 s Crohnovou chorobou (CD)
51 s ulcerózní kolitidou (UC)
Kontrola - 14 zdravých osob
Vzorky dechu do vaků Nalophan
Analýza hmotnostní spektrometrií
s iontovým průtokem (SIFT-MS)

Pentane and other volatile organic compounds, including carboxylic acids,
in the exhaled breath of patients with Crohn's disease and ulcerative colitis.
Dryahina K, Smith D, Bortlík M. et al. J Breath Res. 2017; 12(1): e016002



ARTEFICIÁLNÍ INTELIGENCE PŘI ANALÝZE VOC

Studie 57 autorů ze 21 pracovišť (Izrael, Francie, USA)

Vzorky vydechovaného vzduchu 1404 osob

Pro 17 onemocnění byl definován 'dechový otisk' VOC
karcinom plic, kolorektální karcinom, karcinom ovaria,
karcinom prostaty, karcinom ledvin, karcinom žaludku,
karcinom hlavy a krku, karcinom močového měchýře,

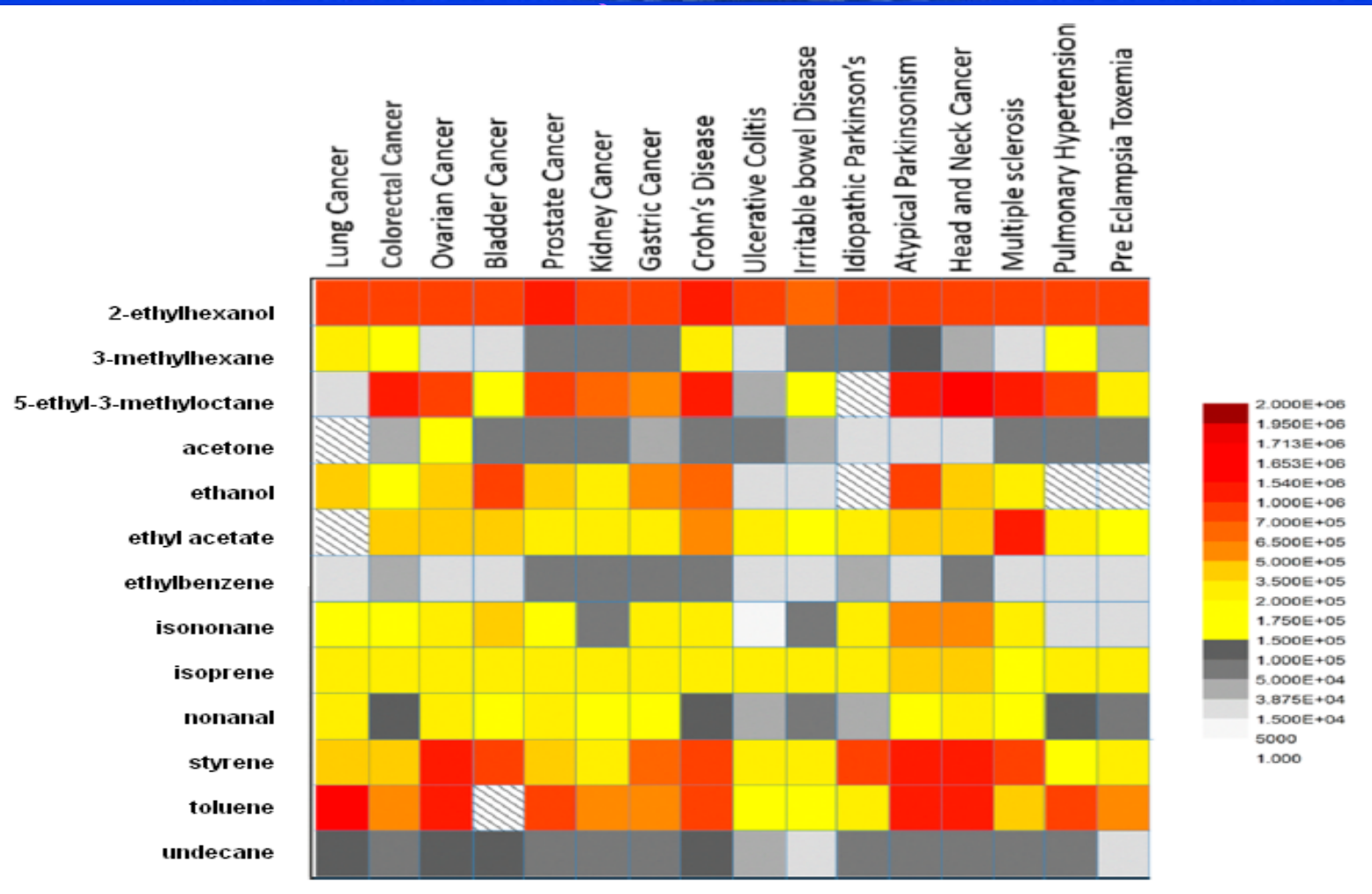
Crohnova choroba, ulcerózní kolitida, IBS,

Parkinsonova choroba, mnohočetná skleróza,

plicní arteriální hypertense, pre-eklampsie, chronické selhání ledvin

Spolehlivost umělé inteligence na diagnostiku 17 onemocnění je 86%

Diagnosis and Classification of 17 Diseases from 1404 Subjects via Pattern Analysis of Exhaled Molecules. Nakhleh MK, Amal H, Jeries R. et al.
ACS Nano. 2017; 11(1): 112-125



Diagnosis and Classification of 17 Diseases from 1404 Subjects via Pattern Analysis of Exhaled Molecules. Nakhleh MK, Amal H, Jeries R. et al. ACS Nano. 2017; 11(1): 112-125



BREATH BIOPSY – TECHNOLOGIE ODBĚRU VZORKŮ DECHU



Zatímco testy krve, moči a stolice se staly běžné způsoby identifikace nemocí, vývoj dechových testů pokulhával protože dosud neexistoval spolehlivý způsob sběru a analýzy vzorku dechu.

*The Great Exhale Using Breath Analysis to Detect Disease.
Mertz L.: IEEE Pulse. 2020; 11(3): 7-11*



<http://www1.lf1.cuni.cz/~kocna/glab/glency1.htm>

<http://gelab.zde.cz>

MiniEncyklopédie laboratorních metod v gastroenterologii
GastroLab

Protilátky ke tkáňové transglutamináze (atTG) - IgA a IgG

Tkáňová transglutamináza má přímý vztah k patogenezi onemocnění a byla popsána jako vlastní, chemický substrát endomysia. Tkáňová transglutamináza - (isoenzym transglutaminasa II, TG2 - EC 2.3.2.13, je transferázou, systémový název je protein-glutamin:amin-g-glutamyltransferasa. Je to Ca²⁺ dependentní enzym, katalyzující deaminaci glutamatu na glutamát, rovněž vede ke vzniku intramolekulární vazby glutamatu na další primární amin, např. lysin a vede k agregaci glutaminových peptidů. Stanovení protilátek ke tkáňové transglutamináze (atTG) má proto rovněž velmi vysokou diagnostickou efektivitu, podobně jako **EmA protilátky** (sensitivita 87-97% a specifita 88-98%). Stanovení atTG je prováděno klasickou metodou ELISA, což je pro rutinní diagnostiku technika dostupnější než immunofluorescenční průkaz EmA.

Protilátky atTG lze na rozdíl od EmA stanovovat ve třídě IgA i IgG, což má význam pro nemocné se selektivním deficitem IgA. Metoda byla popsána s použitím morčecího antigenu, který je použit v většině starších souprav, novější soupravy již používají jako antigen tkáňovou transglutaminázu izolovanou z lidských buněk, z lidských erytrocytů, nebo rekombinantní tTG izolovanou na E.coli. Referenční hodnoty se liší u jednotlivých souprav, většinou je pro IgA protilátky uváděna horní hranice normy 10 - 15 IU/l, některé soupravy definují i tzv. gray-zone v rozsahu 10 - 20 IU/l. Stanovení protilátek atTG s lidským, rekombinantním antigenem vykazuje nižší falešnou pozitivitu než metody s morčecím antigenem. Nejnovější studie porovnávají protilátky třídy IgA a IgG, a POCT metodiky stanovení atTG protilátek. Stanovení protilátek atTG ve třídě IgA je doporučeno jako základní screeningový test pro diagnostiku **celiakie**. Pro screening byla v roce 2011 použita i technologie detekce atTG ve slinách, a nejnovější studie popisují zcela nové technologie detekce protilátek elektrochemickými imunosenzory.

Reference

Bufler P. - Z Gastroenterol. 2015 > [Medline - link](#)

Tosco A. - Clin Exp Immunol > [Medline - link](#)

Medline on-line nejnovější publikace

NČLP



DĚKUJI VÁM

ZA POZORNOST